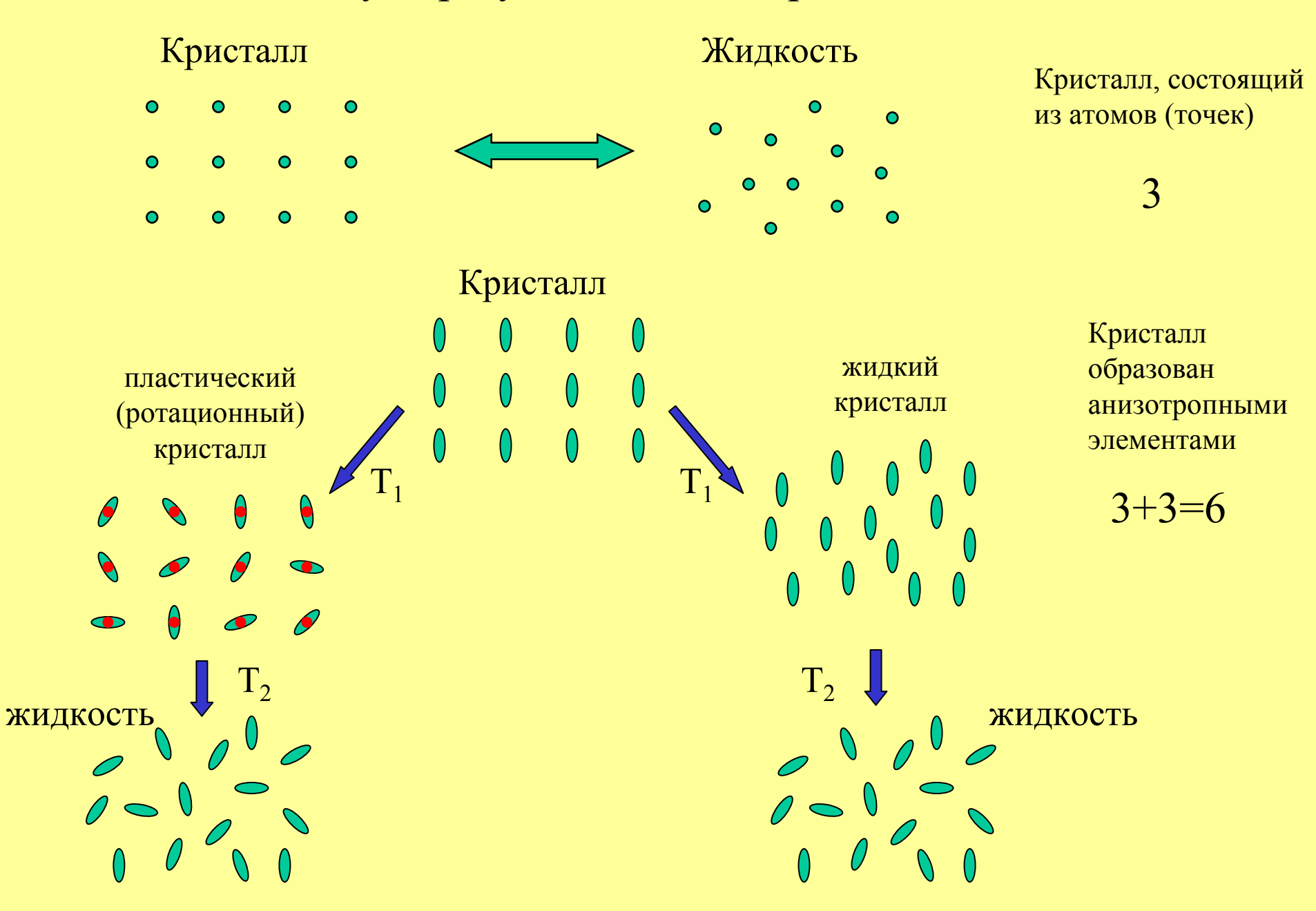
Структуры и фазовые переходы в тонких плёнках жидких кристаллов

- 1) Что такое жидкие кристаллы (ЖК)
- 2) Типы жидких кристаллов
- 3) Хиральность. Хиральные фазы ЖК
- 4) Кристаллические жидкости, фрустрация, фотонные кристаллы
- 5) Внешнее поле. Эффект Фредерикса
- 6) Как сделать дисплей на (нематическом) ЖК. Другие возможности.
- 7) Структуры и переходы в ограниченной геометрии. Влияние поверхности.
- 8) Послойное утоньшение. Послойные переходы
- 9) Взаимодействие и самоорганизация частиц в ЖК

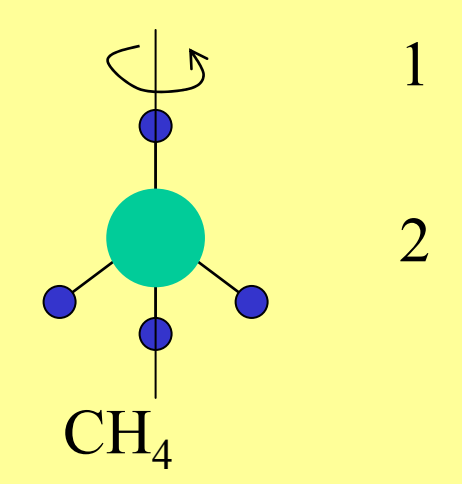


1.

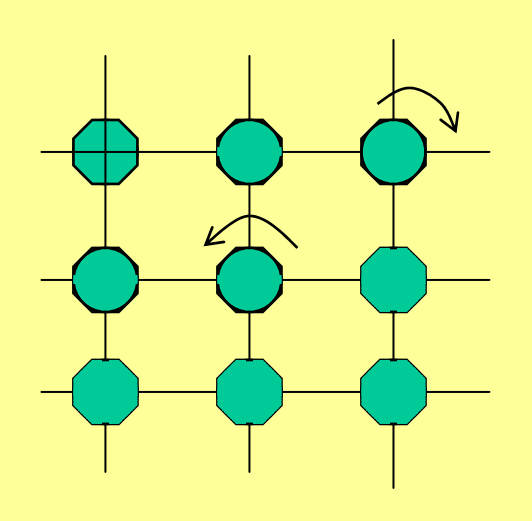
Пластические кристаллы

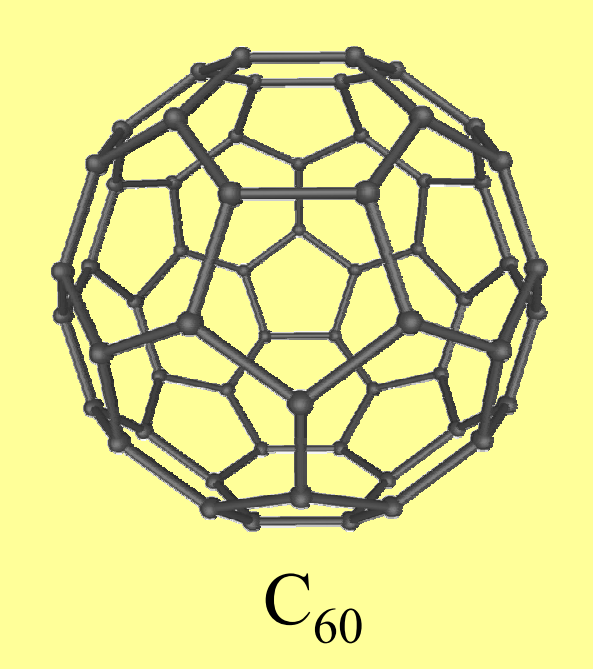
Молекулы сферической формы





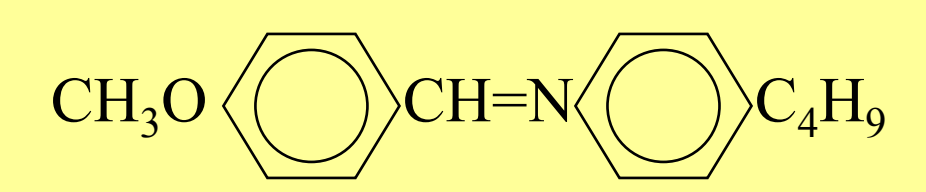
(20.4К) пластический кристалл (90.6К) жидкость



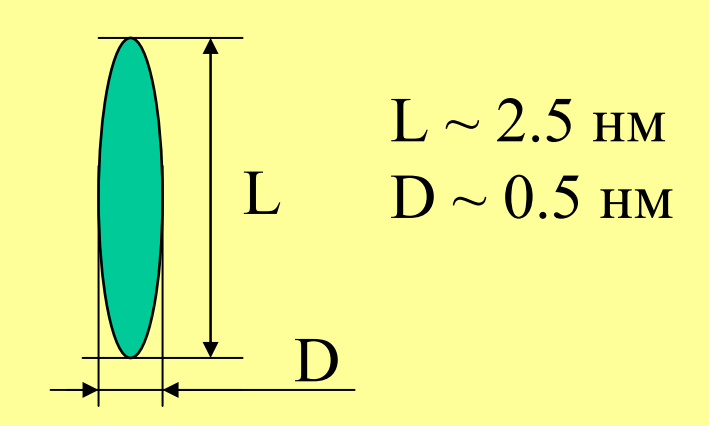


Жидкие кристаллы

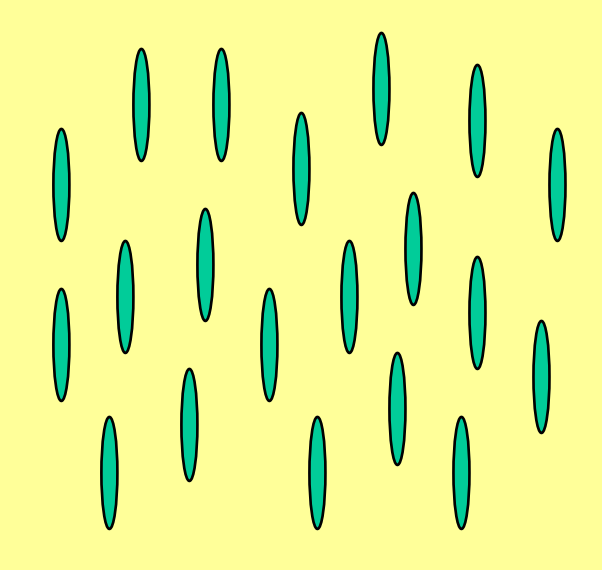
Вытянутые молекулы



N-(метоксибензилиден)-*n*-бутиланилин



Нематический жидкий кристалл

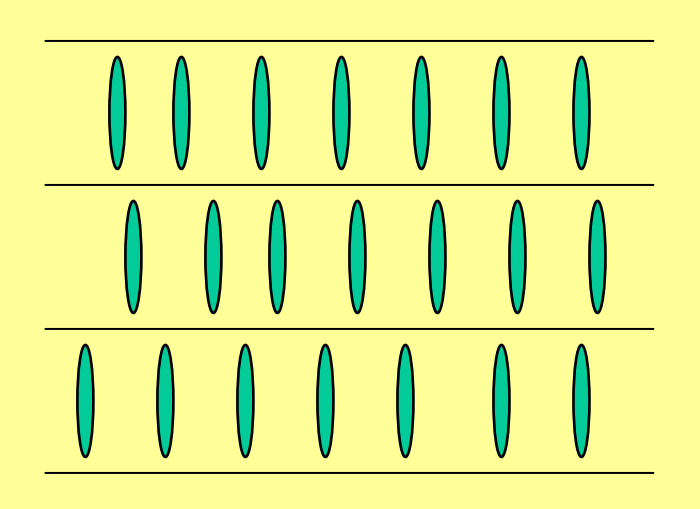


Ориентационное упорядочение молекул

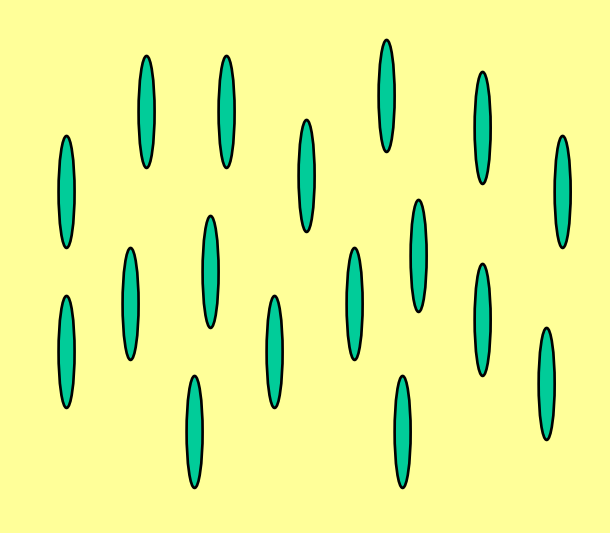
трансляционное упорядочение отсутствует

Смектические жидкие кристаллы

Смектик А





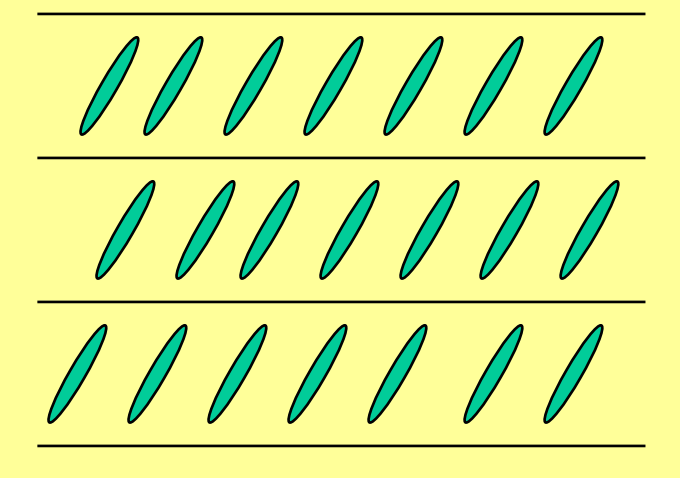


Одномерное трансляционное упорядочение (одномерный кристалл)

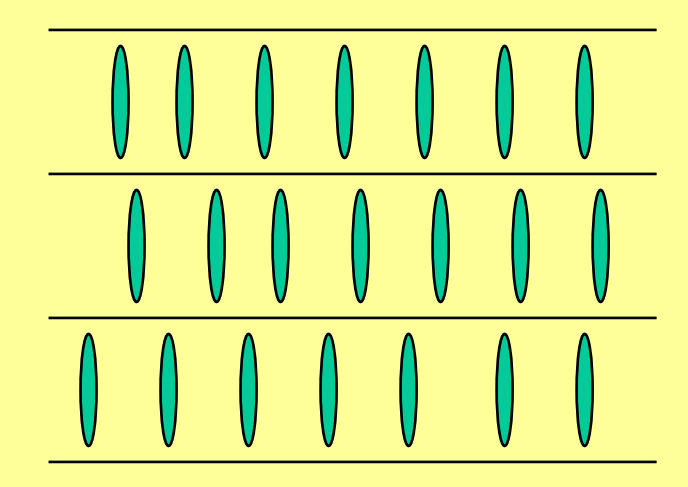
ориентационное упорядочение

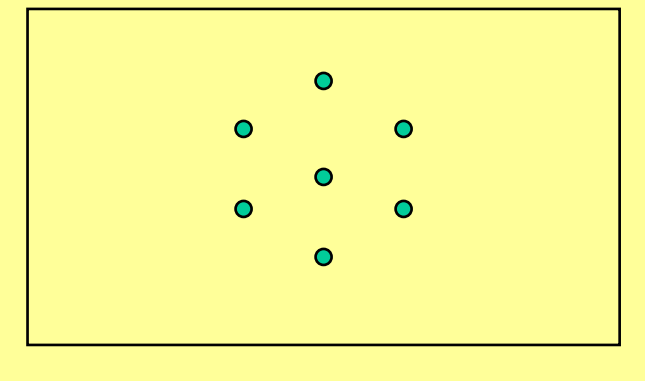
Смектические жидкие кристаллы

2. Смектик *С*



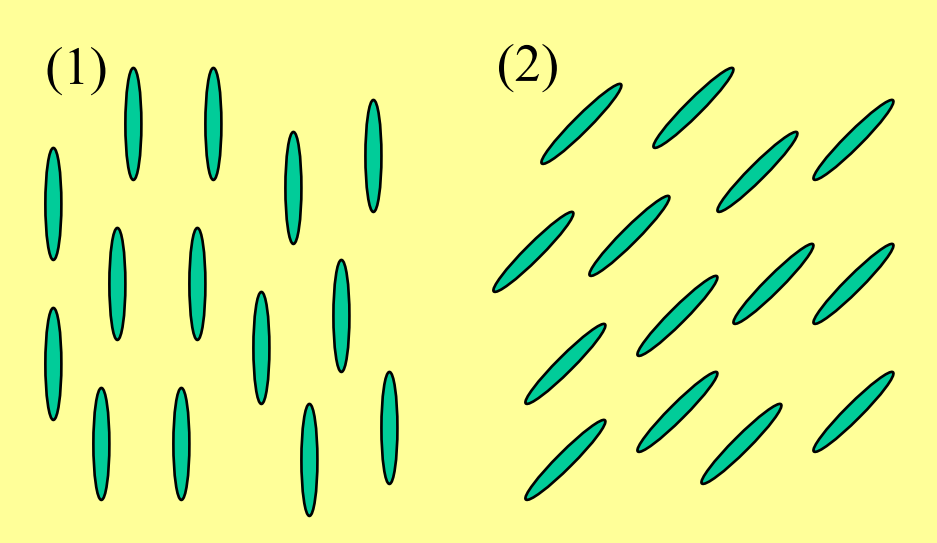
3. Смектик *В*





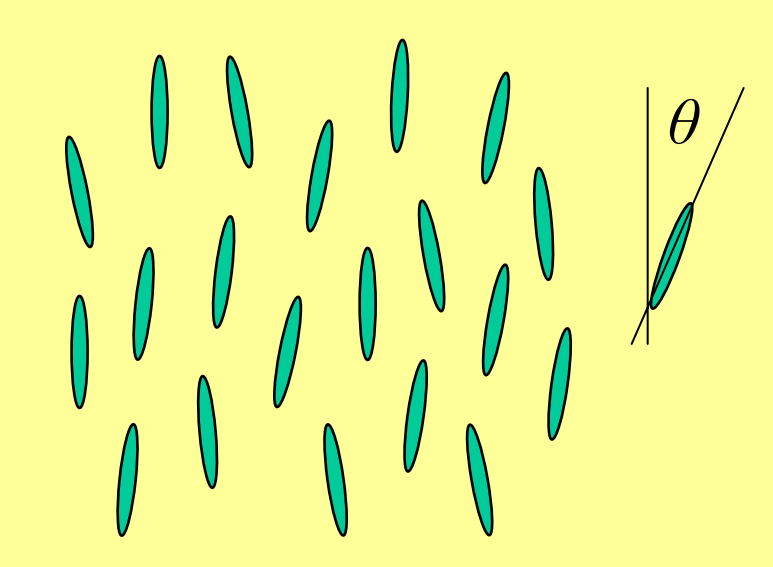
«вид сверху»

Нематический жидкий кристалл



Энергия не зависит от того, в какую сторону ориентирован нематик

Голстоуновские моды Причиной возникновения г.м. является непрерывное вырождение основного состояния Энергия системы не зависит от ориентации г.м. может быть растространяющейся волной (упругие волны) и модой диффузионного типа, для которой ω также стремится к 0 при q=0



параметр ориентационного упорядочения

$$S = \frac{1}{2} \left(3 \left\langle \cos^2 \theta \right\rangle - 1 \right) \tag{1}$$

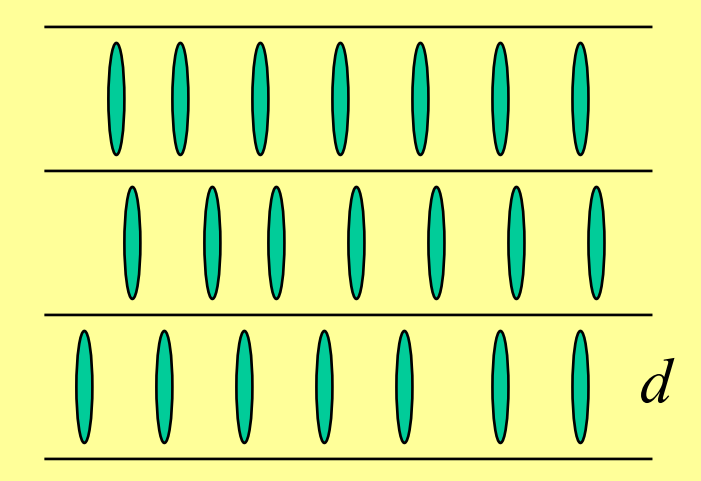
S = 0 жидкость

S = 1 полное упорядочение



Смектические жидкие кристаллы

Смектик А



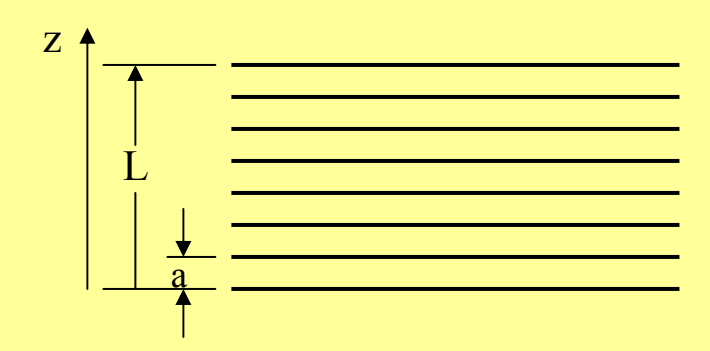
Одномерное трансляционное упорядочение (одномерный кристалл) Параметр порядка

$$\rho(z) = \rho_0 + \sum_{n=1}^{\infty} \rho_n \cos\left(\frac{2\pi n}{d}z\right)$$

$$\rho(z) = \rho_0 + \rho_1 \cos\left(\frac{2\pi}{d}z\right)$$

Теорема Ландау-Паерлса

Landau-Peierls instability



$$d=1$$
 $\langle u^2(r) \rangle \sim kT \ln L$

$$d=3 = const$$

Смещение u(r) логарифмически расходится из-за флуктуаций (в длинноволновом пределе, длинноволновые фононные моды)

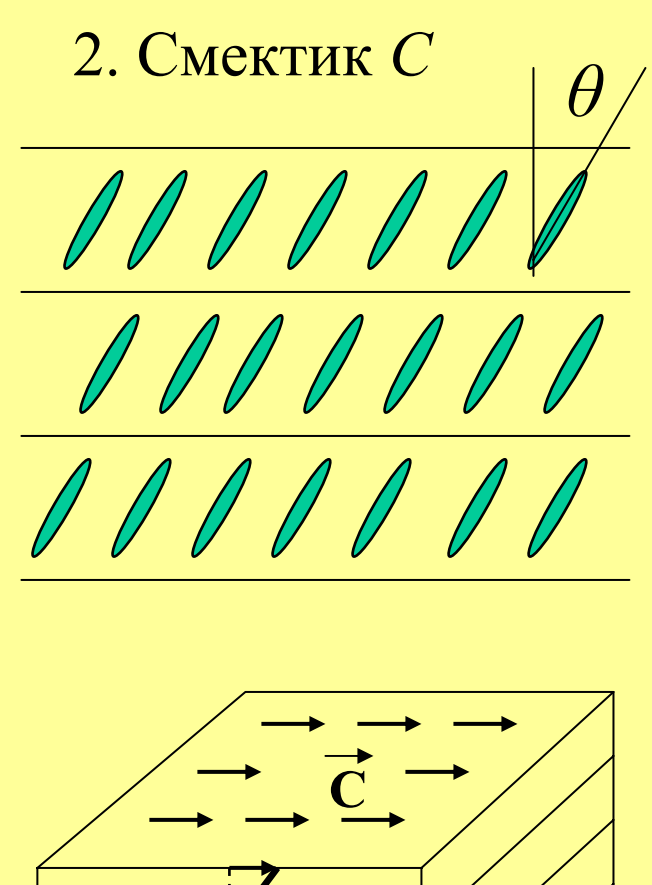
дальний порядок существует

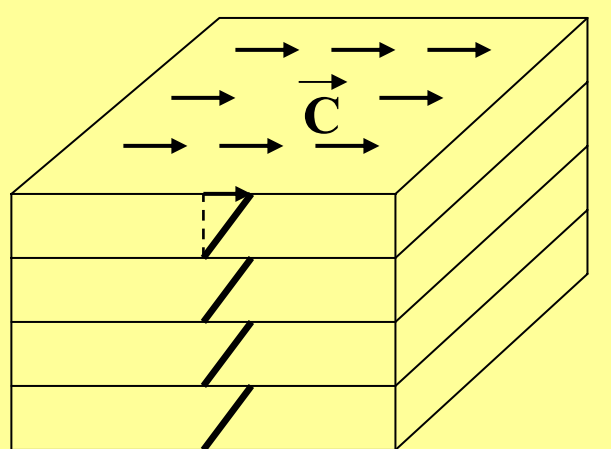
Для достаточно больших L флуктуации становятся порядка межслоевого расстояния (межатомного расстояния)

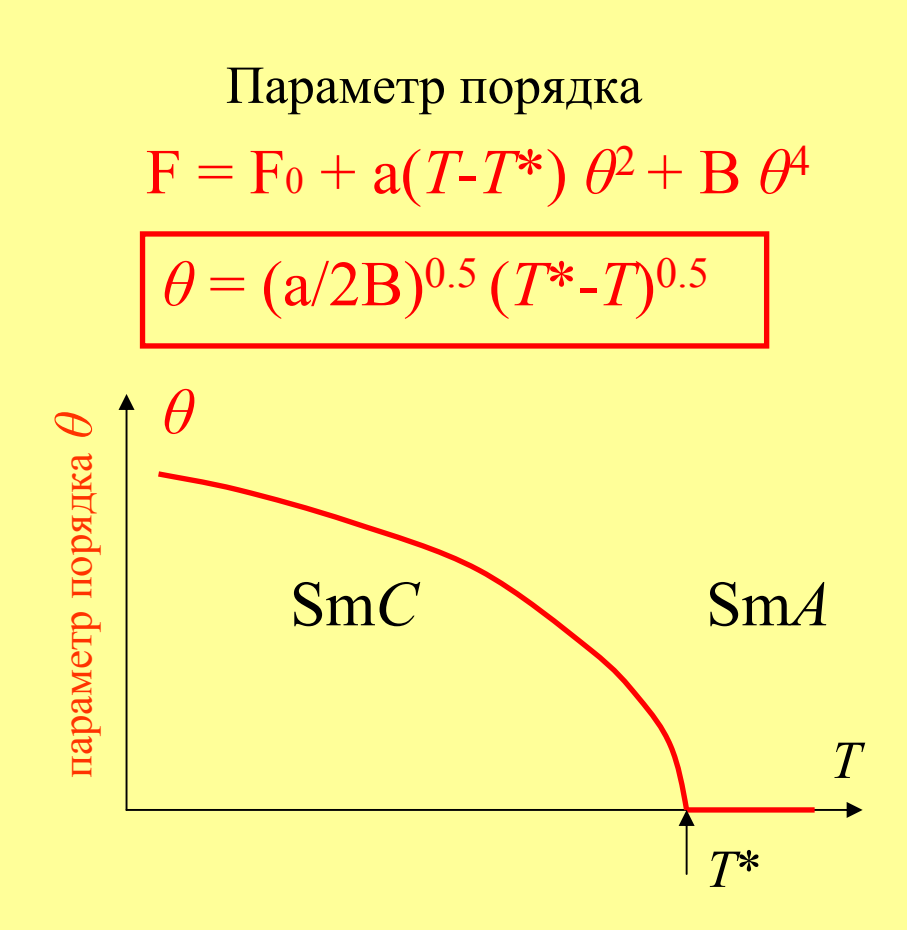
флуктуации разрушают дальний порядок

$$<$$
u 2 (r)> \sim a 2 при $L\sim$ км

Смектические жидкие кристаллы



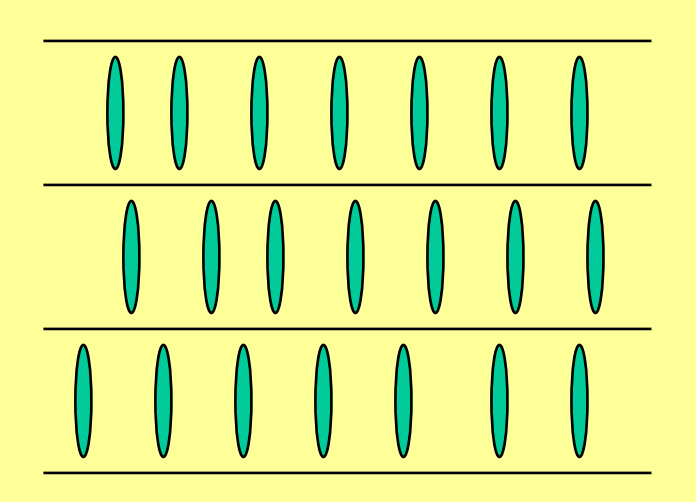


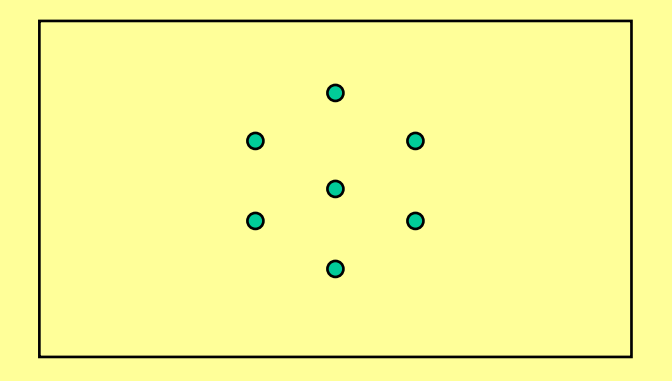


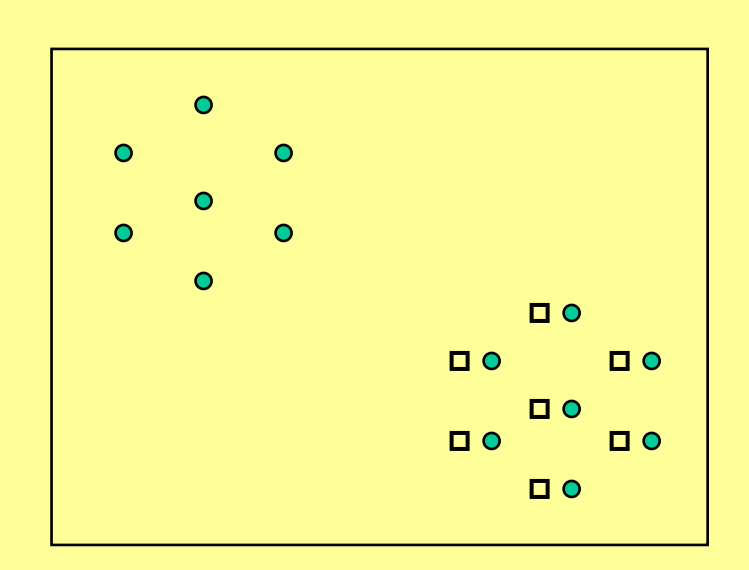
Топологические дефекты

Смектические жидкие кристаллы

3. Смектик *В*

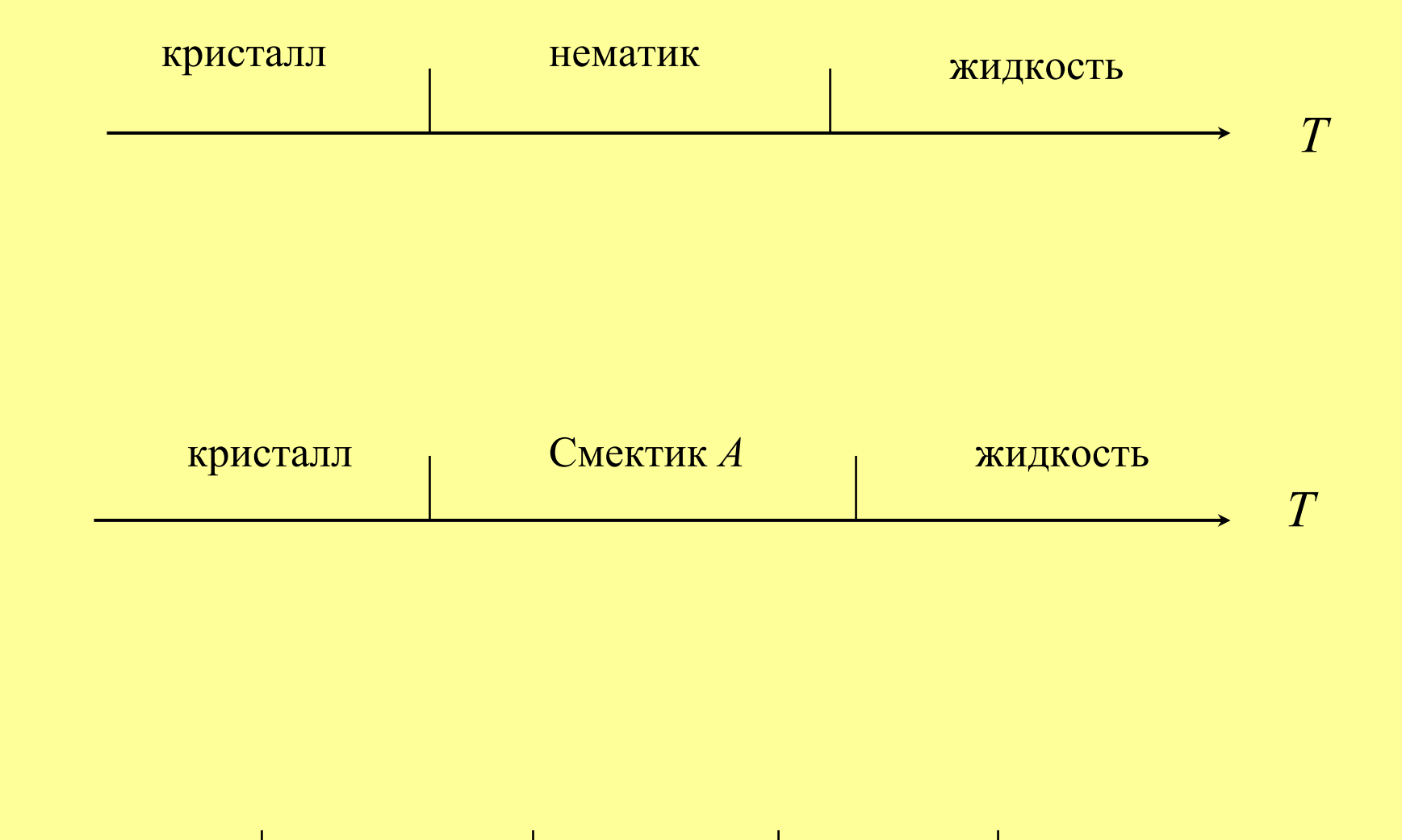






 _

Краевая дислокация в твёрдом теле



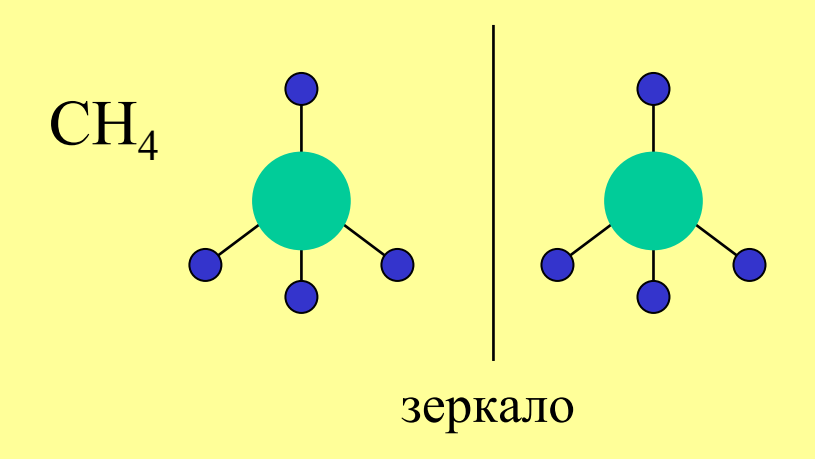
нематик

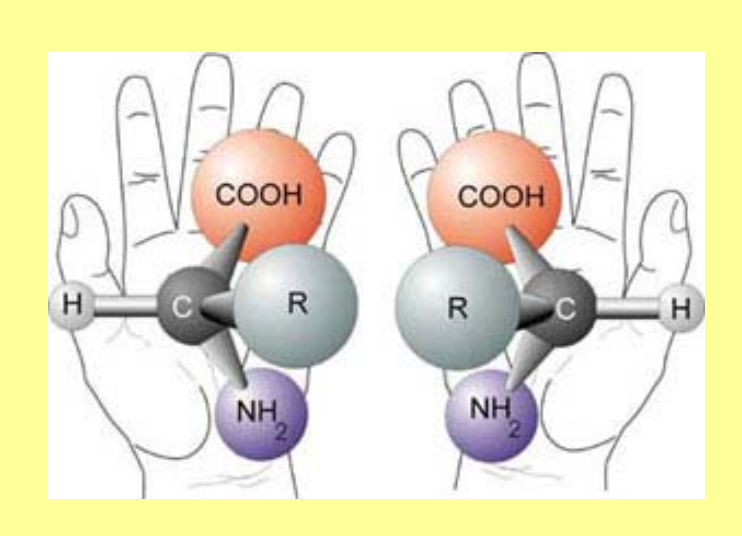
жидкость

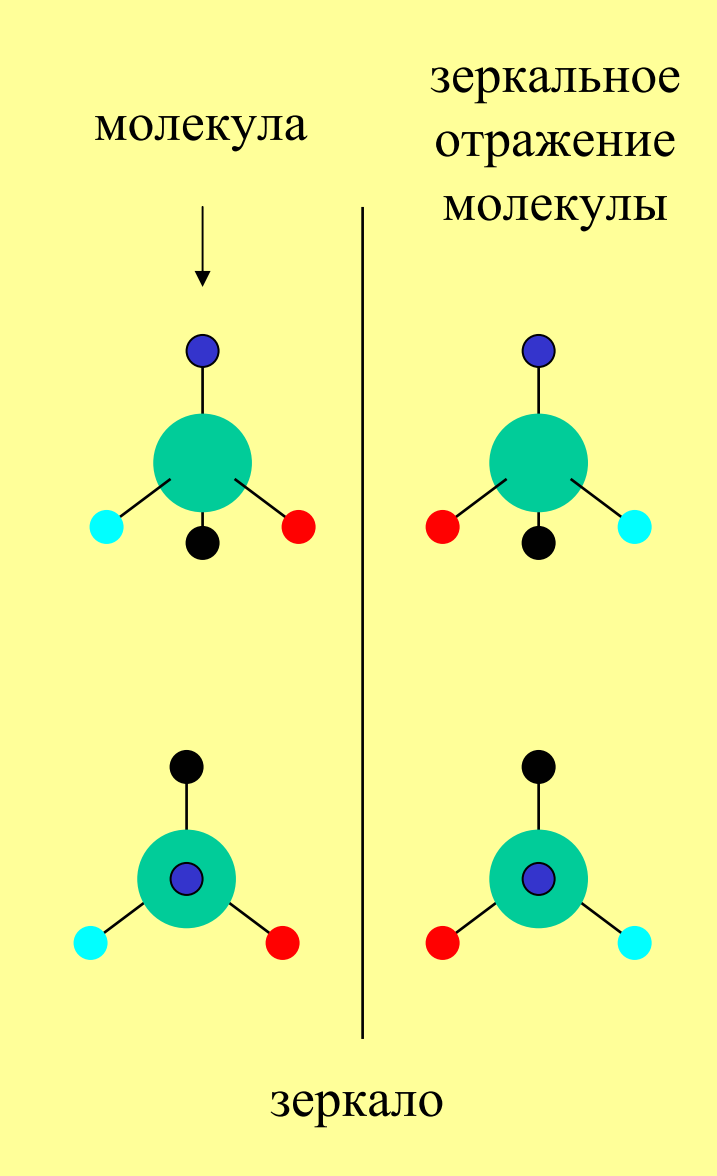
Смектик C Смектик A

кристалл

Хиральность





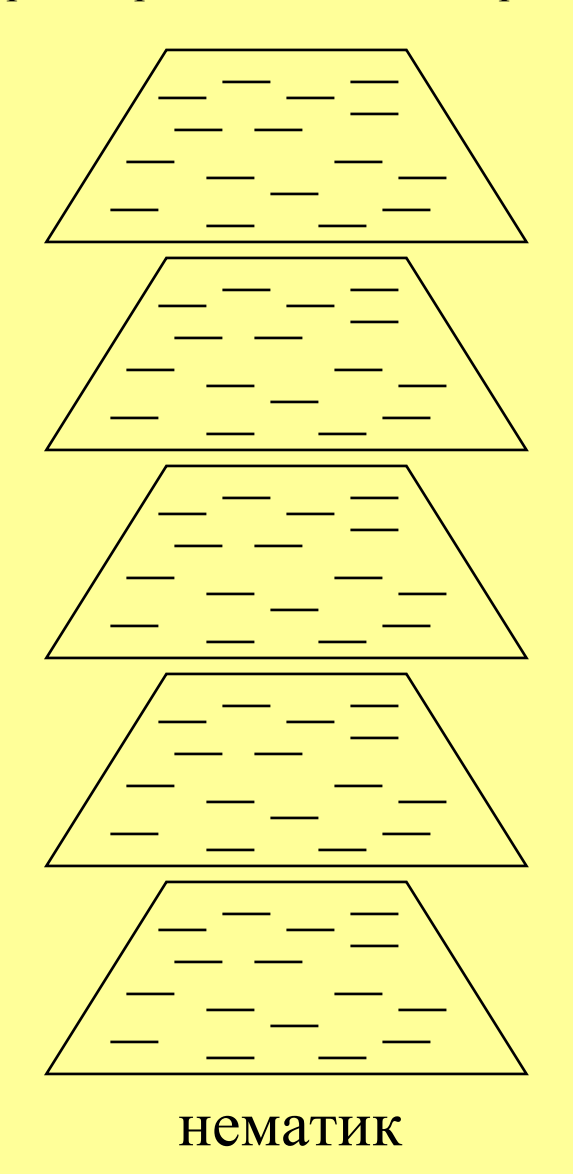


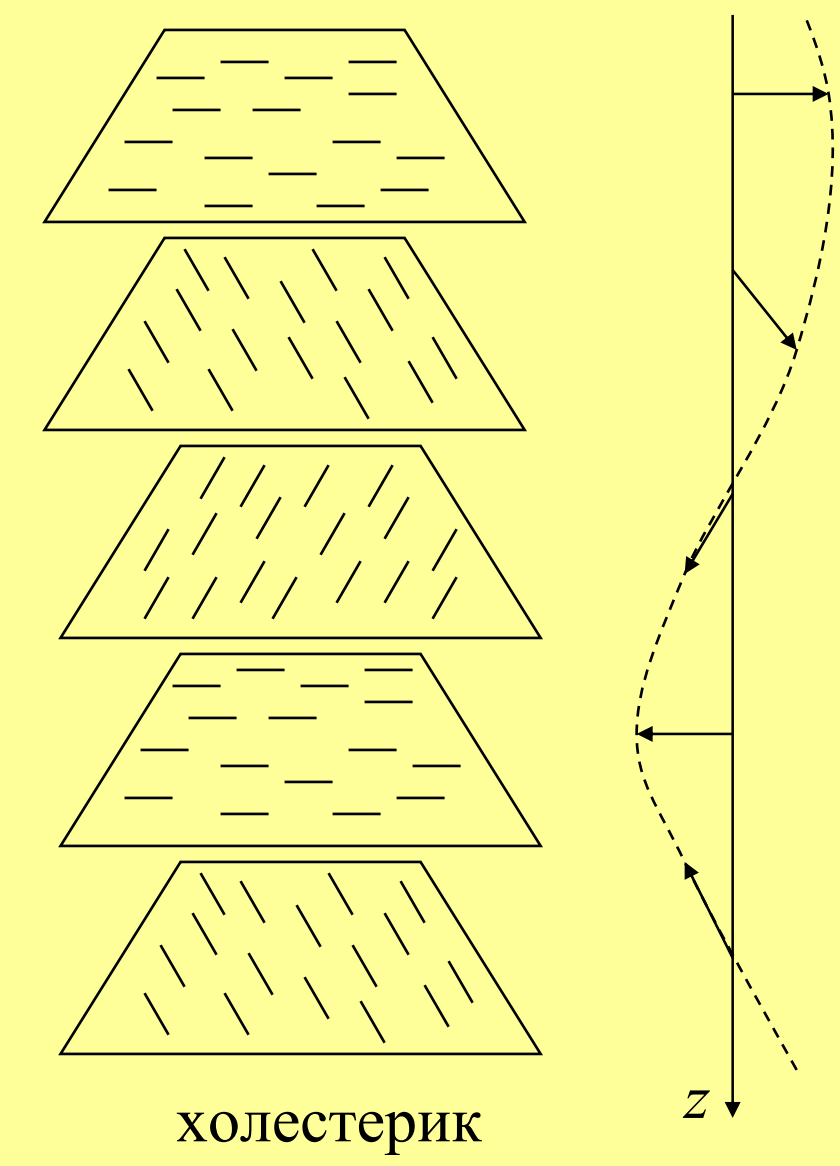
χειροσ - рука

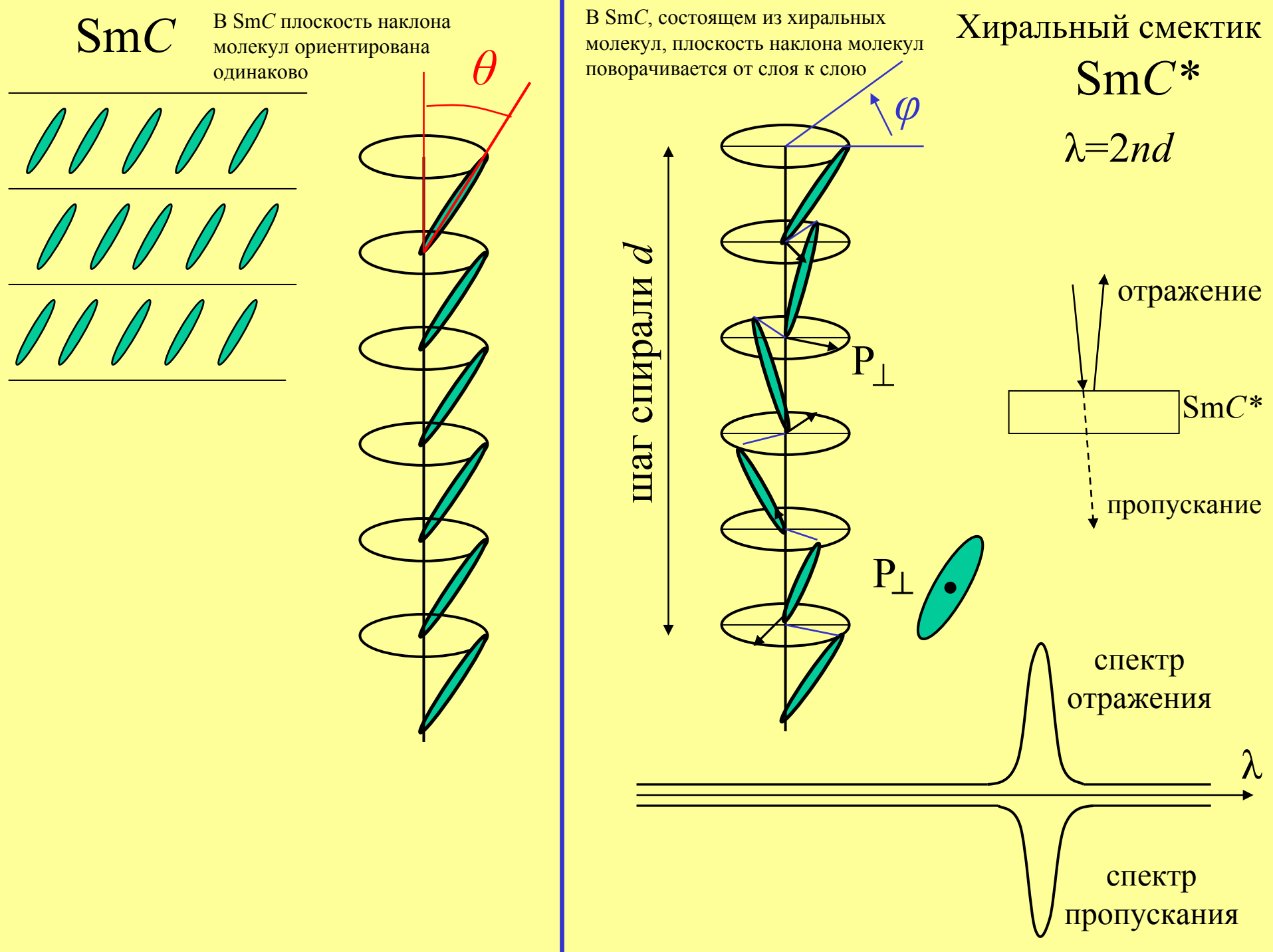
К чему приводит хиральность в жидких кристаллах

В нематике длинные оси молекул ориентированы в одном направлении

В хиральном нематике молекулы поворачиваются при движении в направлении, перпендикулярном оси z

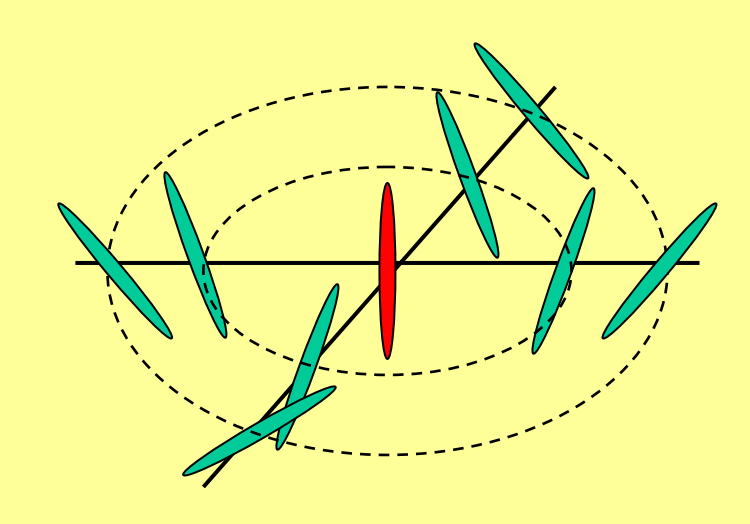


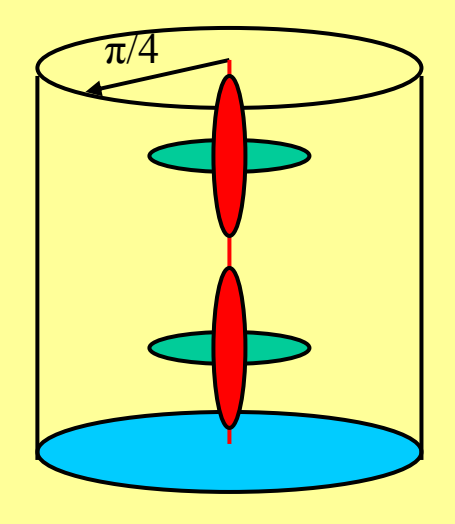




Кристаллические жидкости (голубые фазы) Фрустрация. Фотонные кристаллы

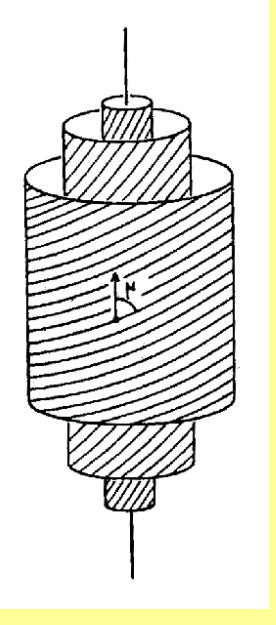
«One of the great lessons of condensed matter physics is that nature is more fertile than the human imagination in devising ways for matter to organize inself Blue phases are a wonderful example of this process» - D.C. Wright and N.D Mermin





Сиситема характеризуется геометрической фрустрацией Структура, энергетически выгодная на малых расстояниях, перестаёт быть выгодной на больших расстояниях.

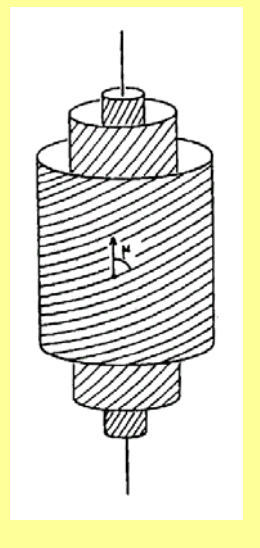
двойная спираль



Двойная закрутка, вращение молекул в двух направлениях

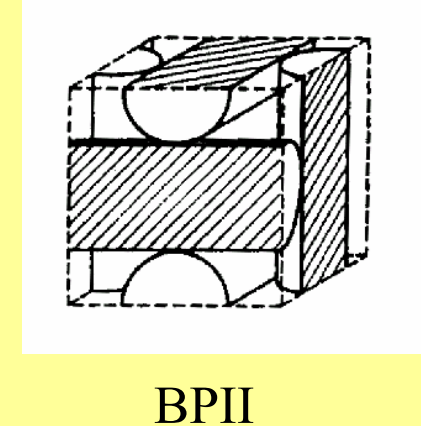
Кристаллические жидкости (голубые фазы)

двойная спираль

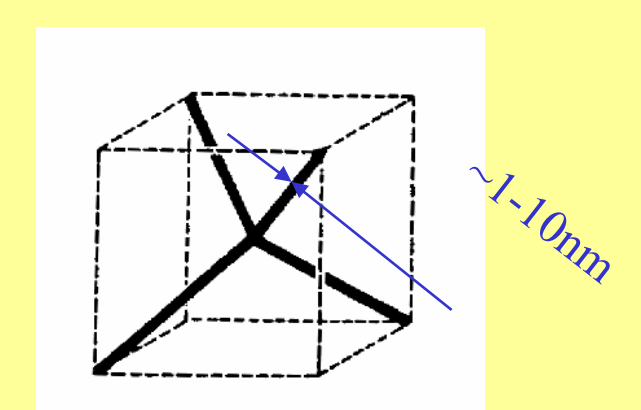


Двойная закрутка, вращение молекул в двух направлениях

кубическая структура



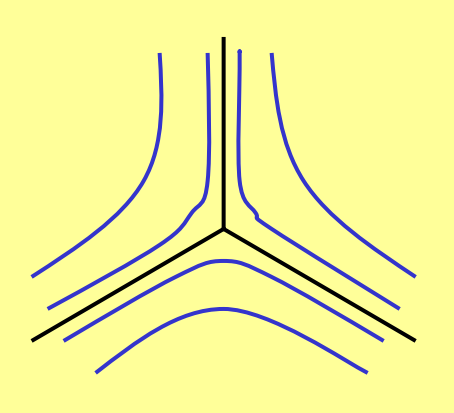
Образование системы дефектов



Структуры с упорядоченными топологическими дефектами

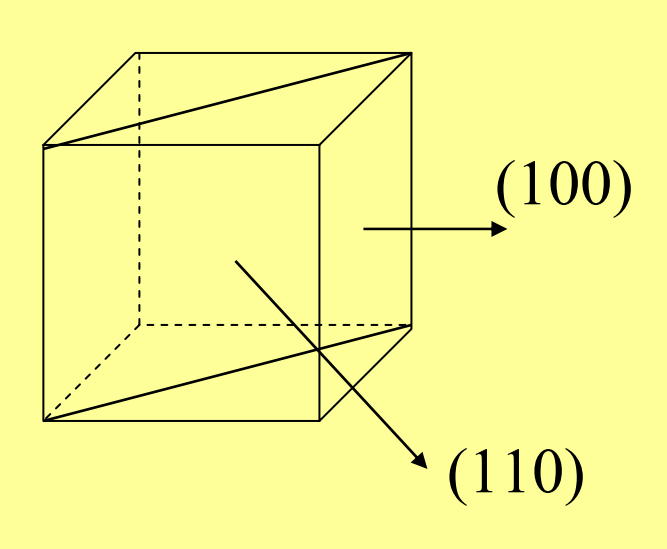
Топологический дефект

S=-1/2



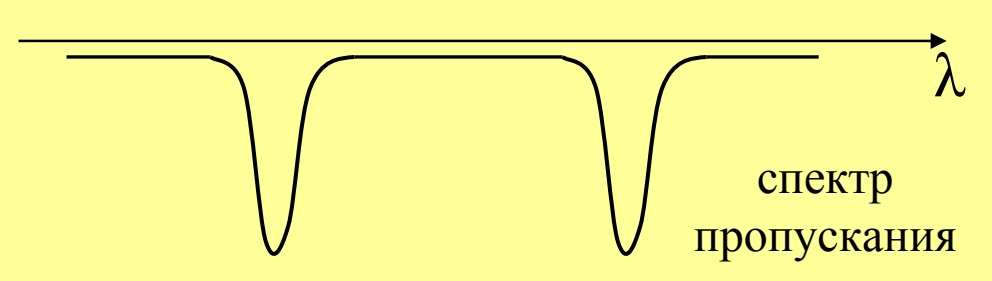
Line topological defects

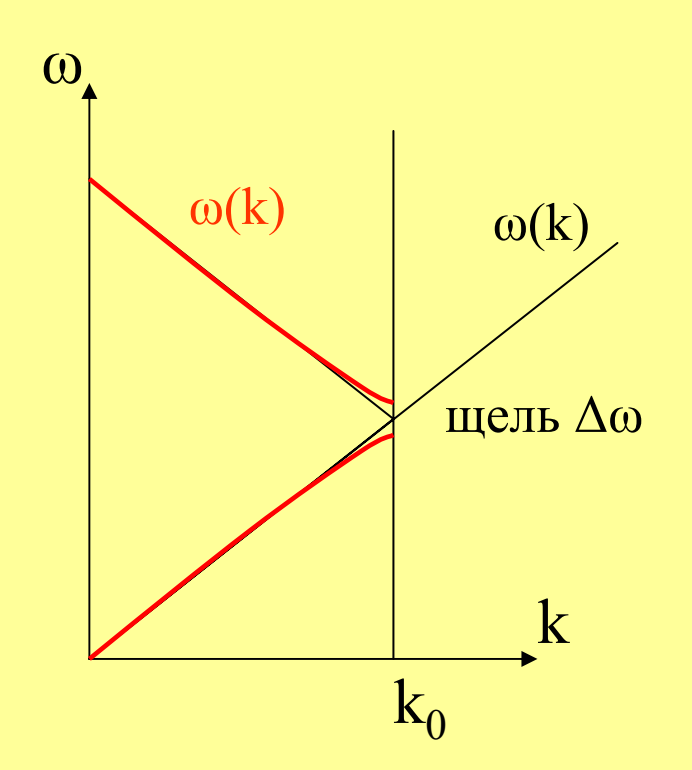
 $d \sim \lambda$



10⁷ молекул

Спектр пропускания состоит из нескольких линий

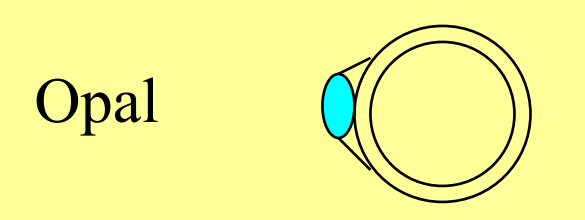




$$V_{ph} = \omega/k$$
 $V_g = d\omega/dk$

Групповая скорость света обращается в ноль на границе зоны

лазеры Распределённая обратная связь

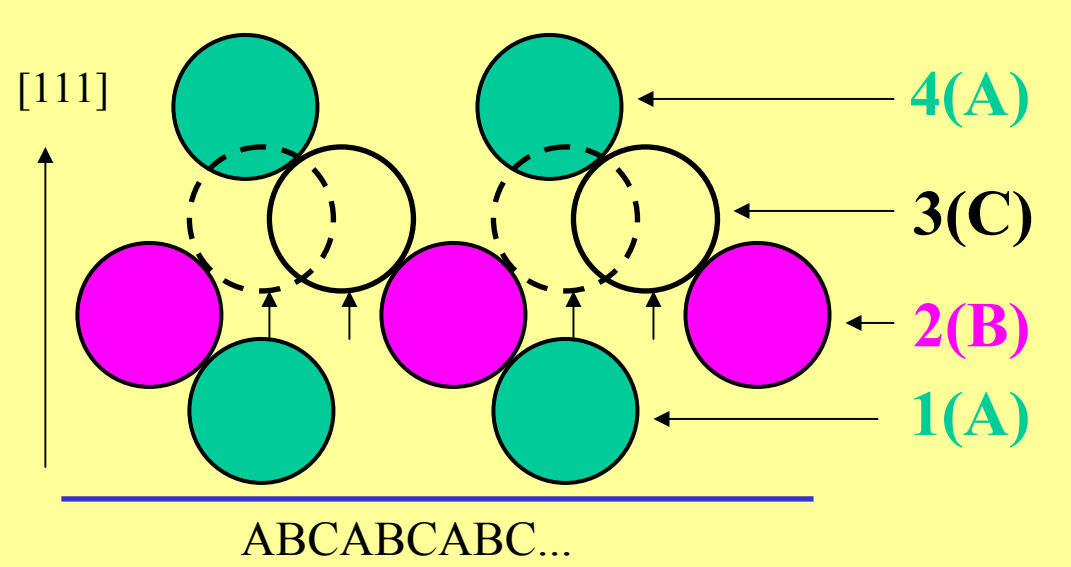


4 сферы

 SiO_2

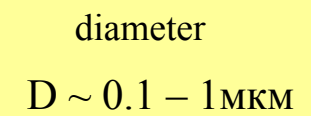
(111)

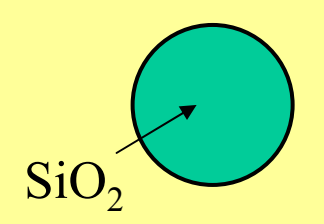
Рост происходит по направлению [111]



Гранецентрированная кубическая (ГЦК)

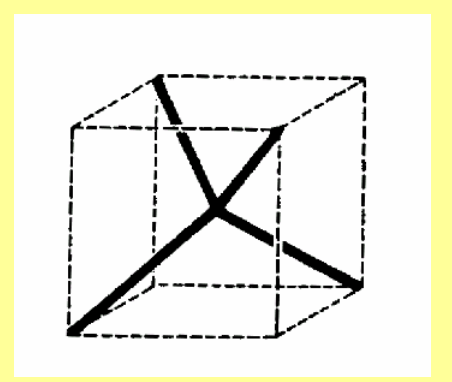
Период порядка длины волны света



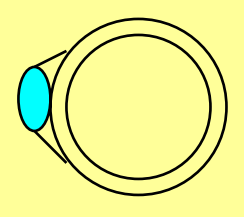


Фотонные кристаллы

жидкокристалические фотонные кристаллы







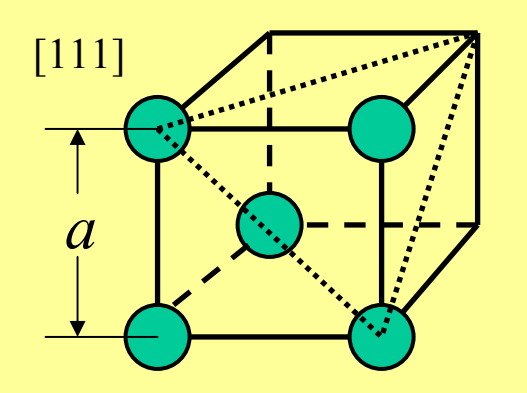
Кроме ВР и опала:

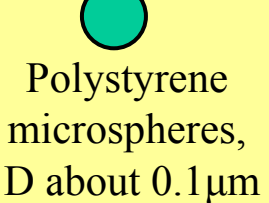


Colloidal crystals

(polystyrene microsheres)

Face-centered-cubic lattice (fcc)

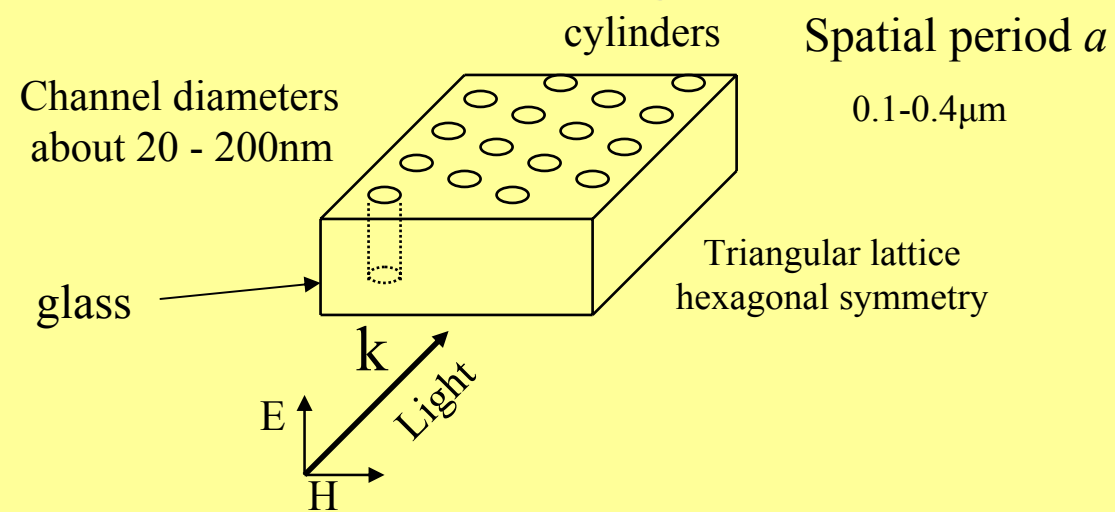




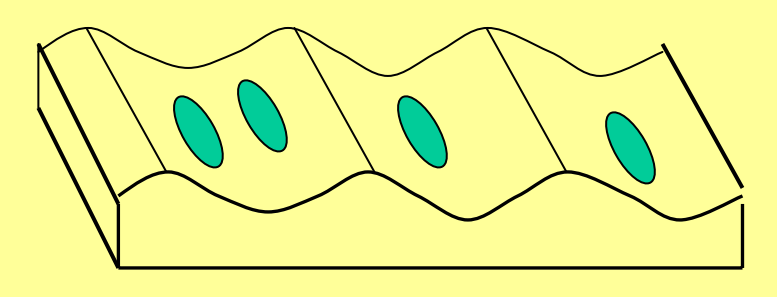
a about 0.4μm

Repulsive Coulomb force, attractive van der Waals force

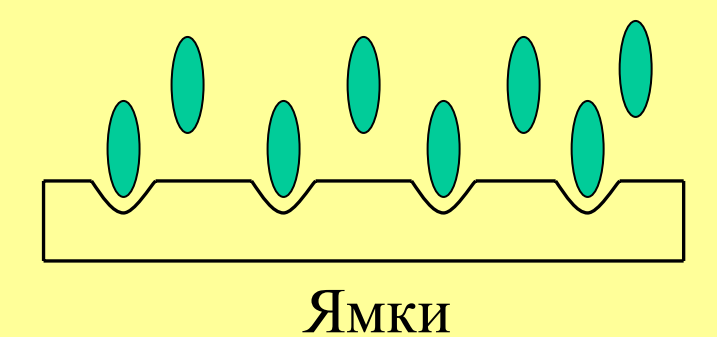
Nanochannel glasses

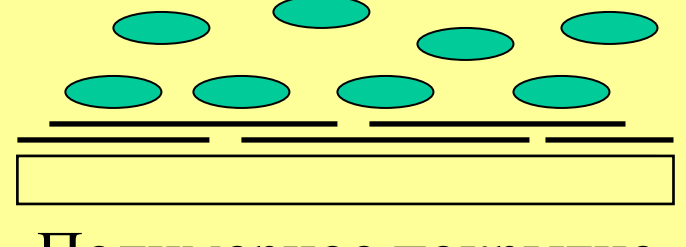


Ориентация жидкого кристалла на поверхности



Бороздки



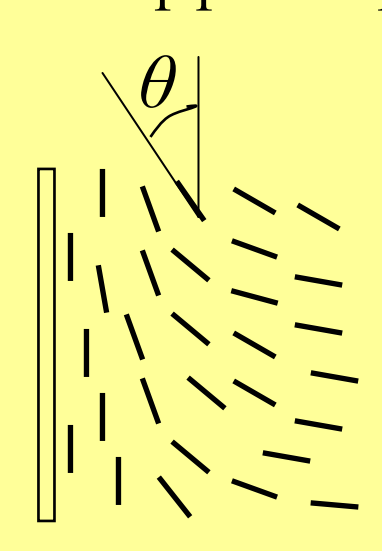


Полимерное покрытие

Поверхностно-активное вещество

Жидкие кристаллы во внешнем поле Эффект Фредерикса

"упругость"



электрическое поле

$$F_{el} = \frac{1}{2} K \left(\frac{\partial \theta}{\partial z} \right)^2$$



$$\Delta \varepsilon = \varepsilon_1 - \varepsilon_2$$

$$F_f = -\frac{\Delta \varepsilon}{4\pi} E^2 \sin^2 \theta$$

$$F = \frac{1}{2} \int_0^d \left[K \left(\frac{\partial \theta}{\partial z} \right)^2 - \frac{\Delta \varepsilon}{4\pi} E^2 \sin^2 \theta \right] dz$$

$$\frac{\partial^2 \theta}{\partial z^2} + \frac{\Delta \varepsilon E^2}{4\pi K} \sin \theta \cos \theta = 0$$

$$\frac{\partial^2 \theta}{\partial z^2} + \frac{\Delta \varepsilon E^2}{4\pi K} \sin \theta \cos \theta = 0$$

$$\left(\frac{\partial \theta}{\partial z}\right)^{2} = \frac{\Delta \varepsilon E^{2}}{8\pi K} \cos 2\theta + c \qquad c = f(\theta_{m})$$

$$d/2 = \int_{0}^{\theta_{m}} \left(c + \frac{\Delta \varepsilon E^{2}}{8\pi K} \cos 2\theta \right)^{-1/2} d\theta$$

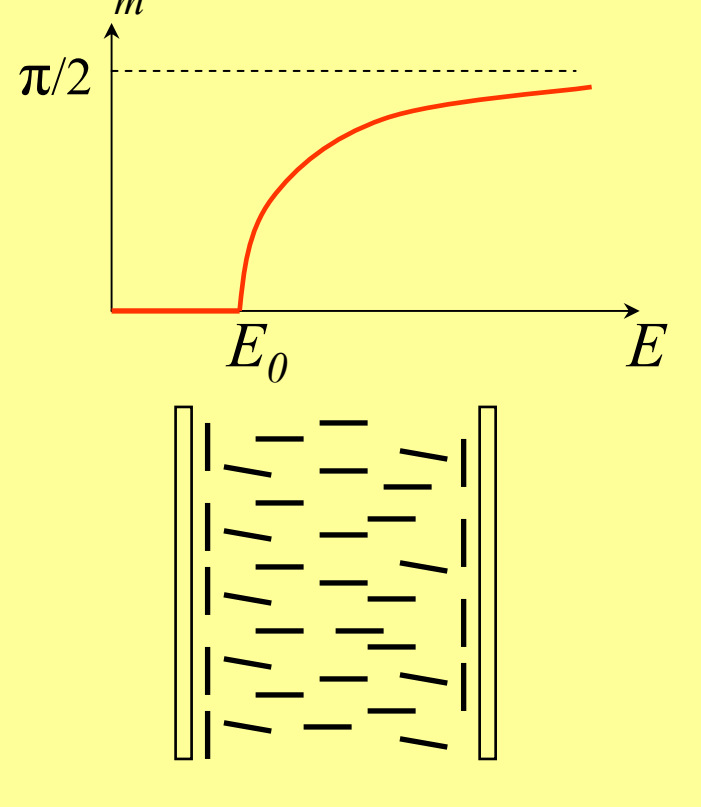
$$\theta_m$$
 - угол наклона молекул в центре ячейки

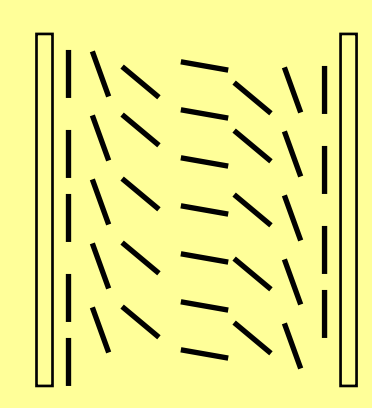
$$\frac{Ed}{2} \sqrt{\frac{\Delta \varepsilon}{4\pi K}} = \int_{0}^{\theta_{m}} \frac{d\theta}{\sqrt{\sin^{2} \theta_{m} - \sin^{2} \theta}} \equiv F(\sin \theta_{m})$$

$$E = \sqrt{\frac{4\pi K}{\Delta \varepsilon}} \frac{\pi}{d} \left(1 + \frac{1}{4} \sin^2 \theta_m + \dots \right)$$

$$E > E_0 = \frac{\pi}{d} \sqrt{\frac{4\pi K}{\Delta \varepsilon}}$$

 $\theta \equiv 0$





→]

$$E > E_0 = \frac{\pi}{d} \sqrt{\frac{4\pi K}{\Delta \varepsilon}}$$

Пороговое напряжение переориентации не зависит от толщины ячейки

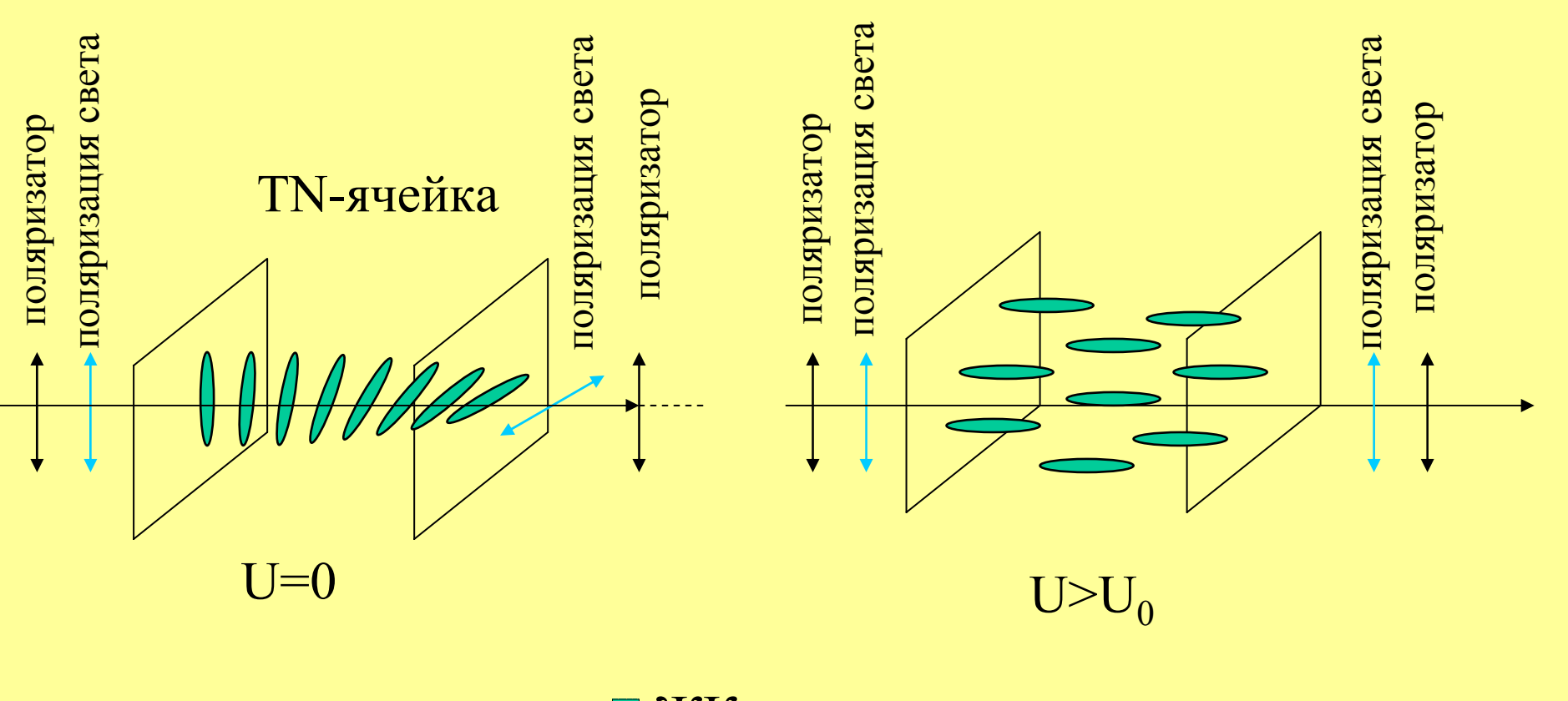
$$U = E_0 d = \pi \sqrt{\frac{4\pi K}{\Delta \varepsilon}} = const$$

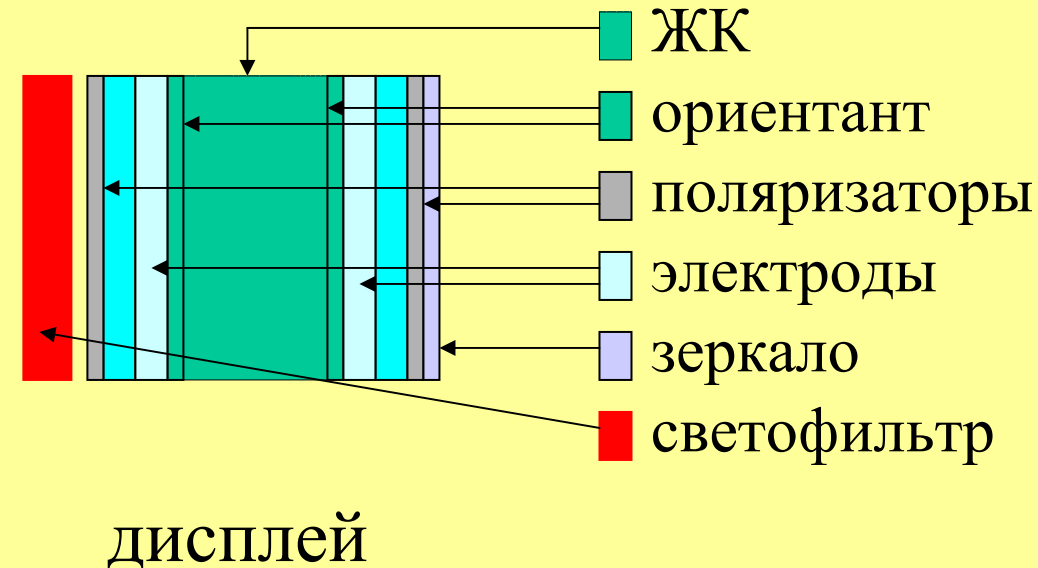
Δε~1

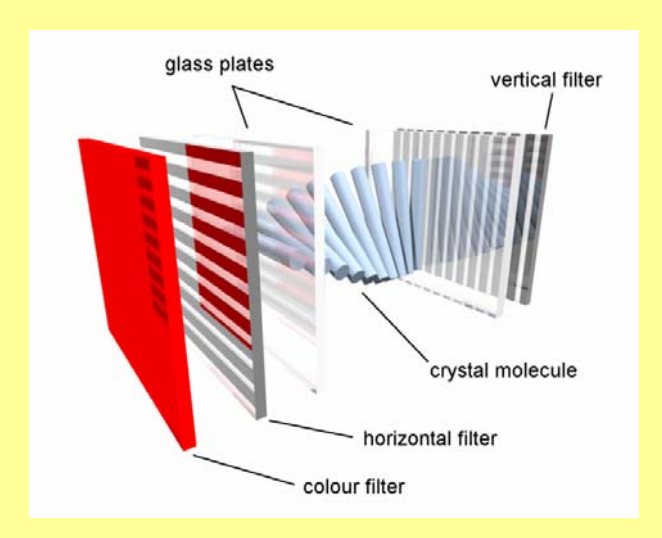
 $K \sim 4*10^{-7}$ эрг/см

 $U \sim 2B$

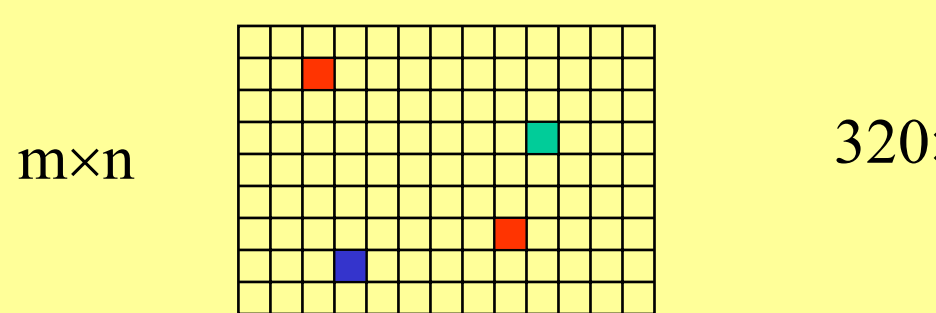
в.п. меньше





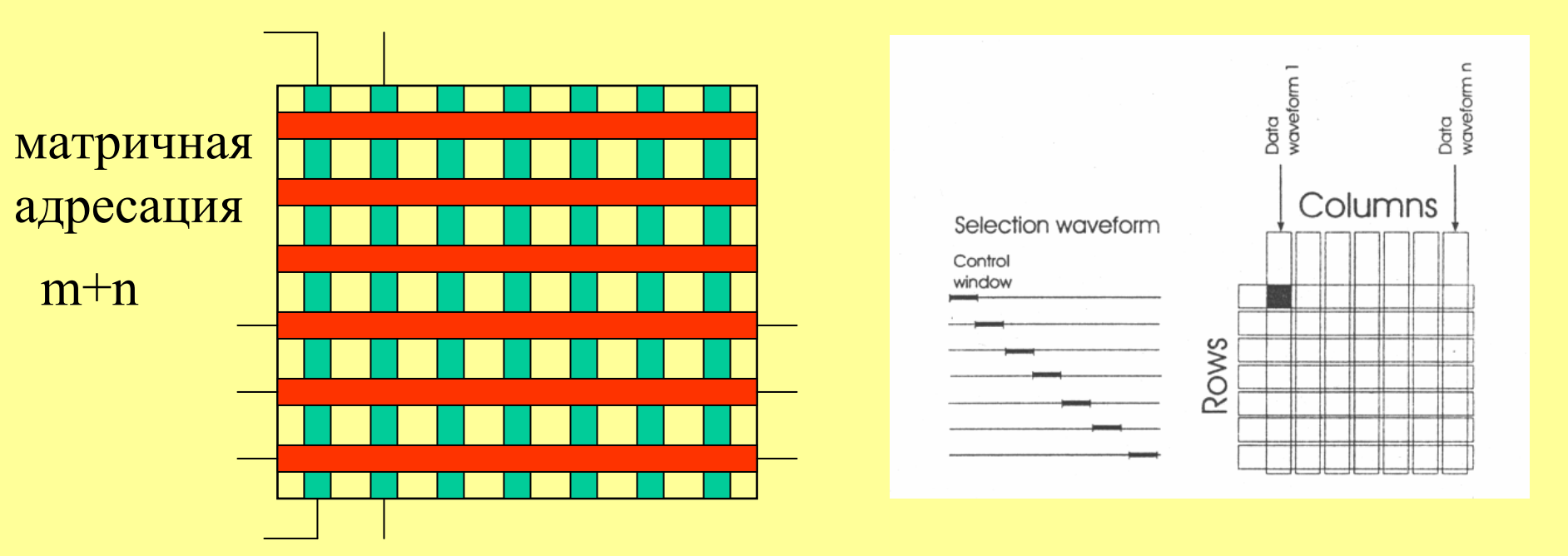


Проблема: требуется много электродов



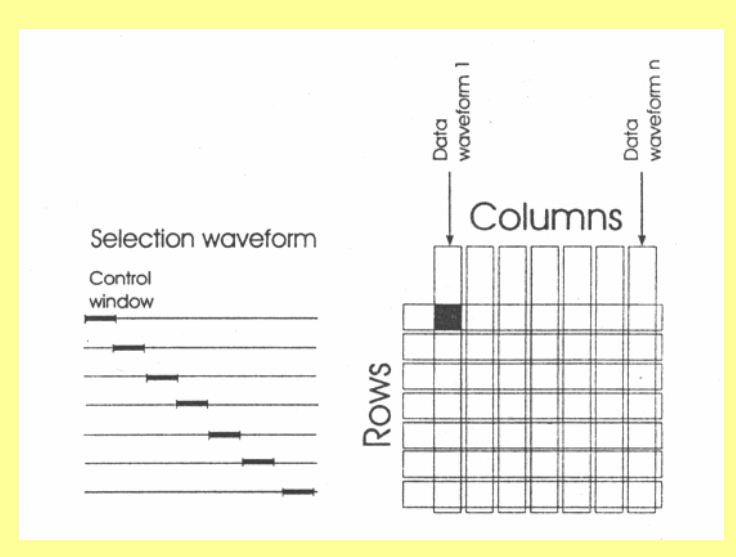
320×240=76800

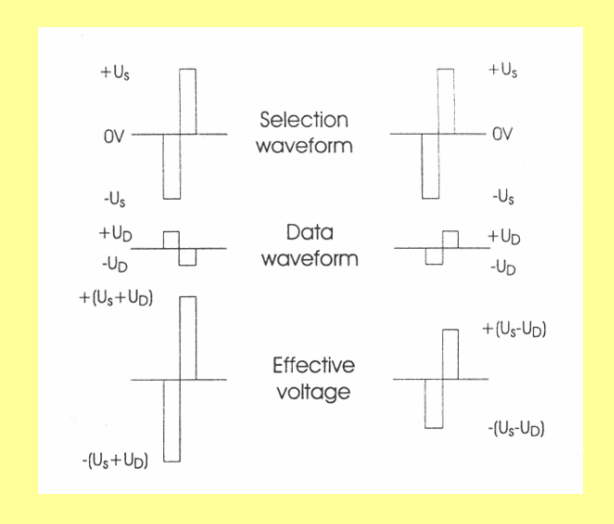
Мультиплексирование



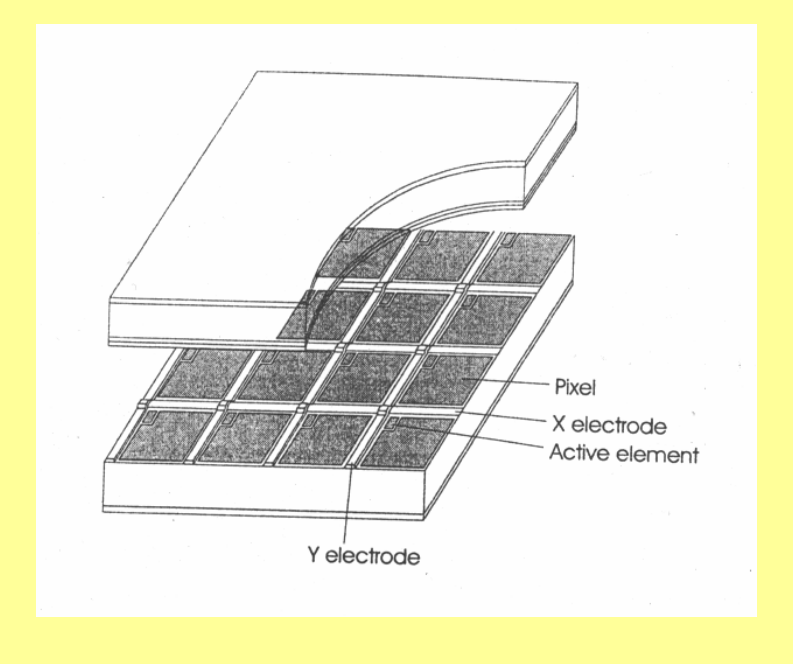
Пассивная матрица

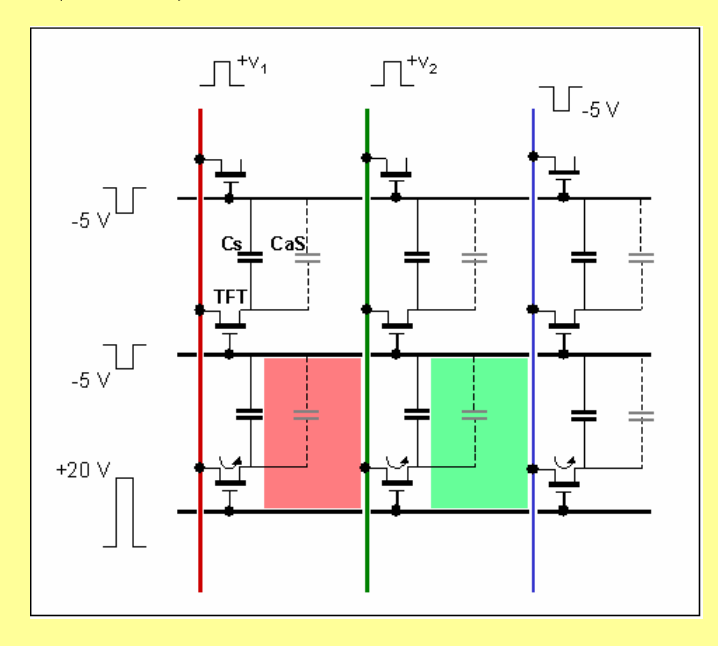
Пассивная матрица





Активная матрица (TFT)

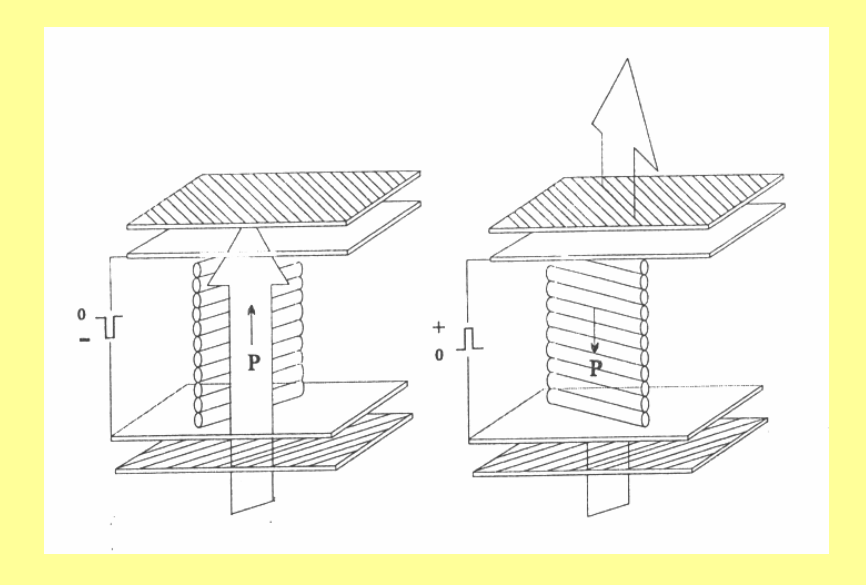




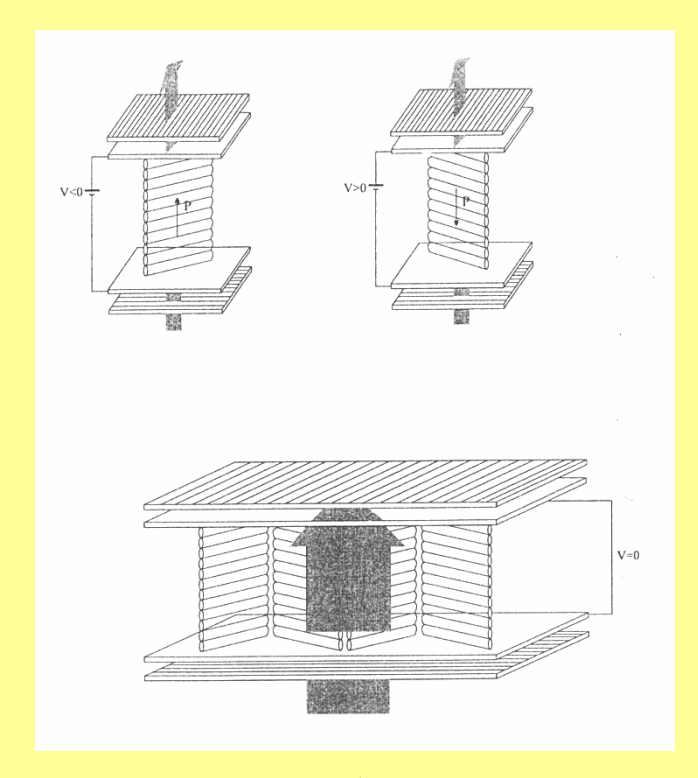
Другие возможности: полярные жидкие кристаллы

Нематик: $F \propto \Delta \varepsilon E^2$

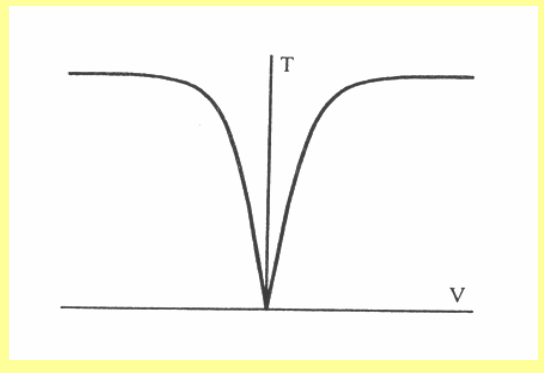
Сегнетоэлектрик: $F \propto PE$



бистабильность



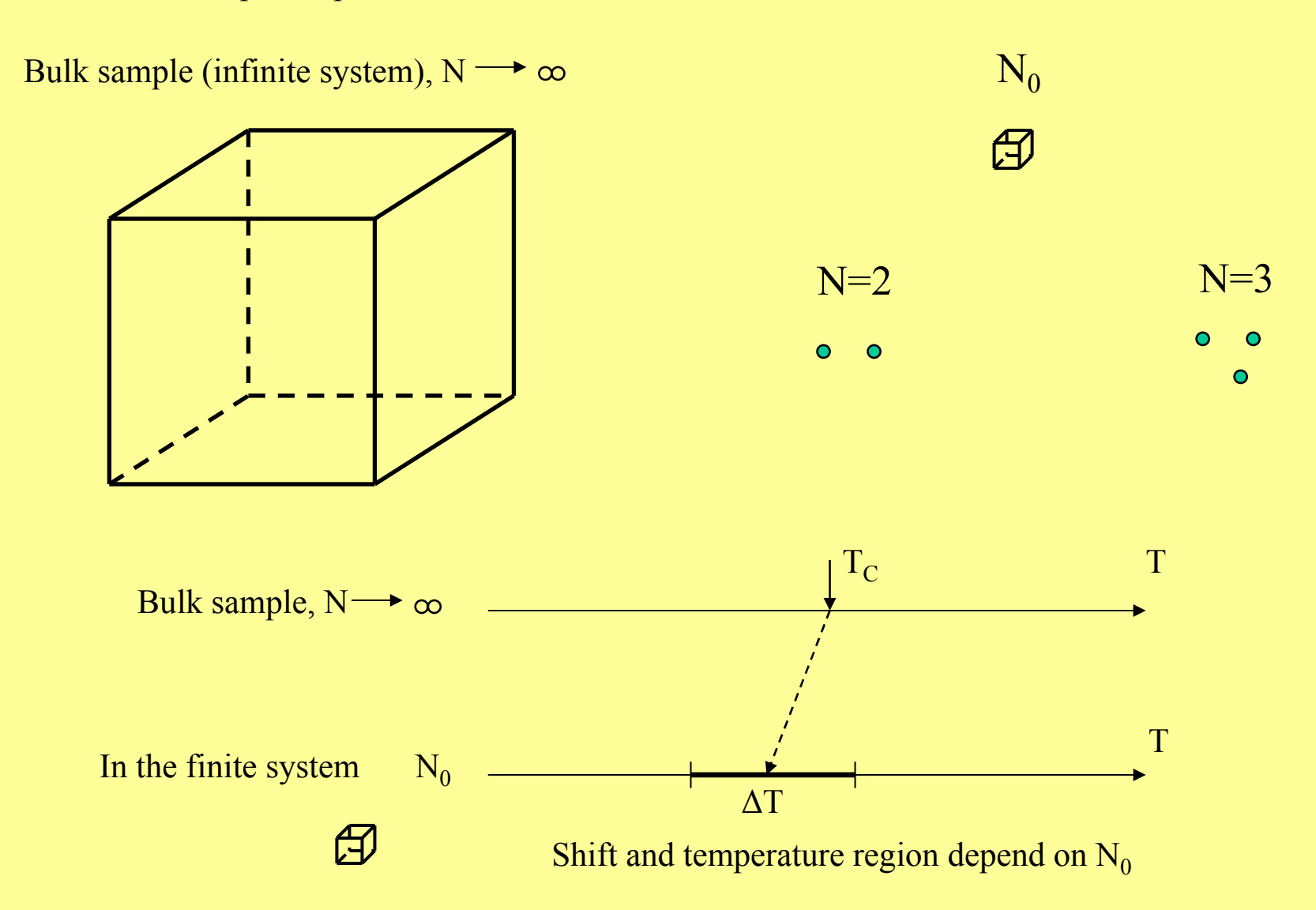
тристабильность



беспороговое переключение

Фазовые переходы в ограниченной геометрии

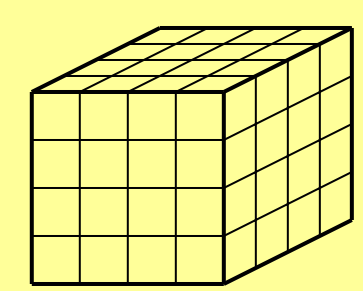
Structure, phase, phase transitions



Трансформация структуры и фазовых переходов:

- (1) N
- (2) форма образца
- (3) флуктуации
- (4) влияние поверхности

(1) N



$$N=4^3=64$$

$$N_B=8$$

$$N=5^3=125$$

$$N_{S} = 98$$

$$N_B=27$$

$$N=10^3=1000$$

$$N_{S} = 488$$

$$N_{B} = 512$$

Всего частиц

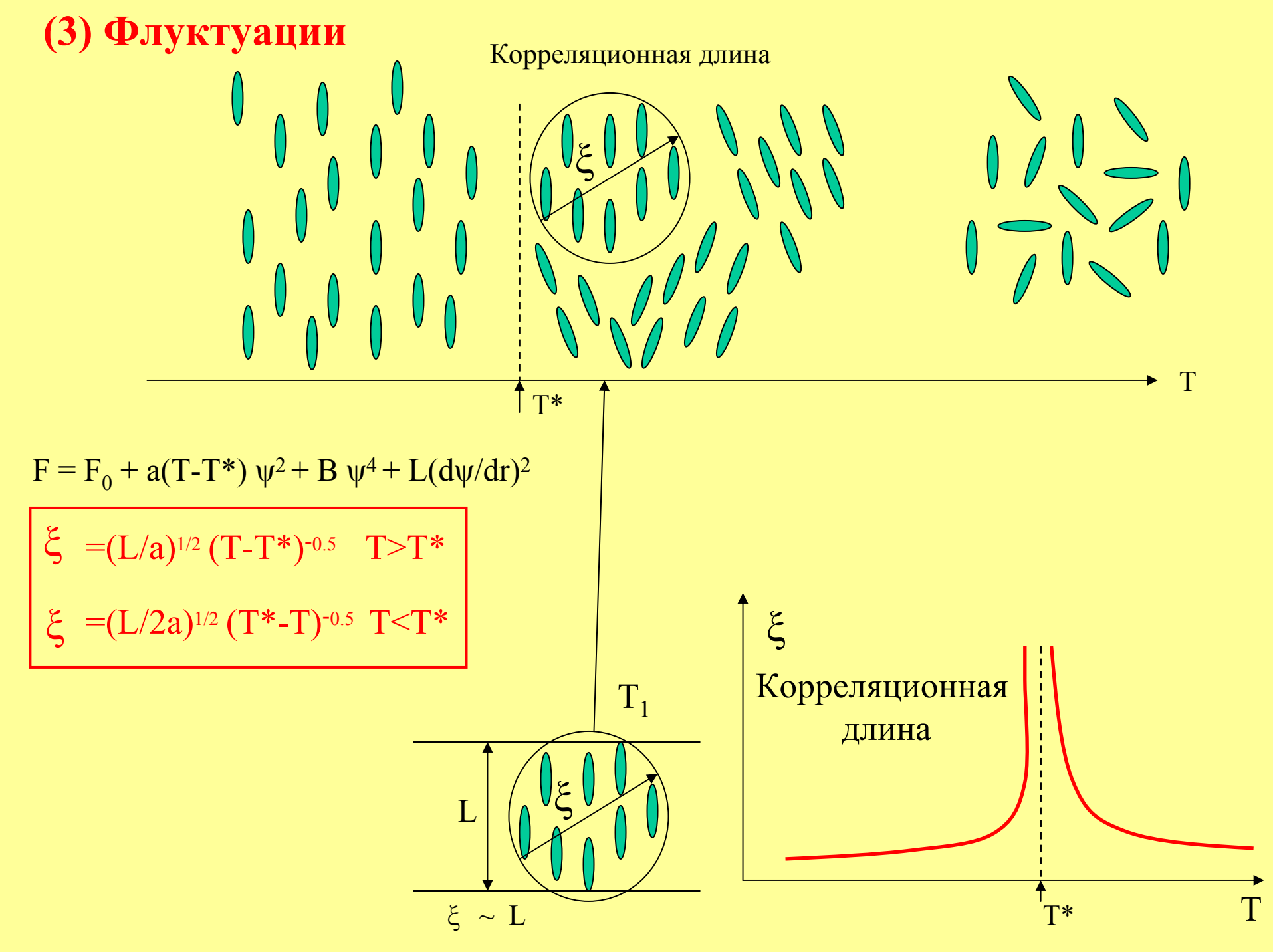
"поверхность"

"объём"

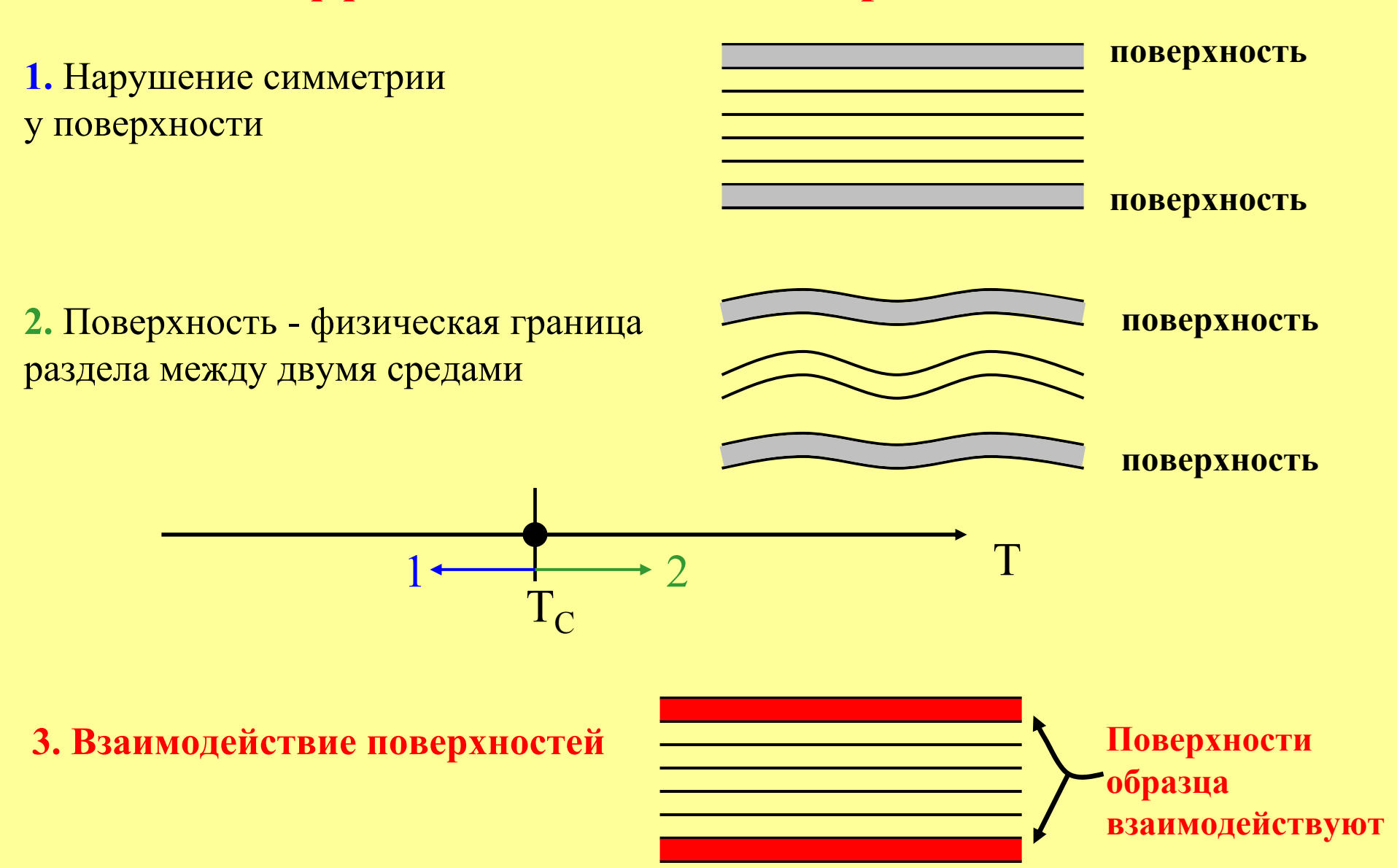
(2) форма образца





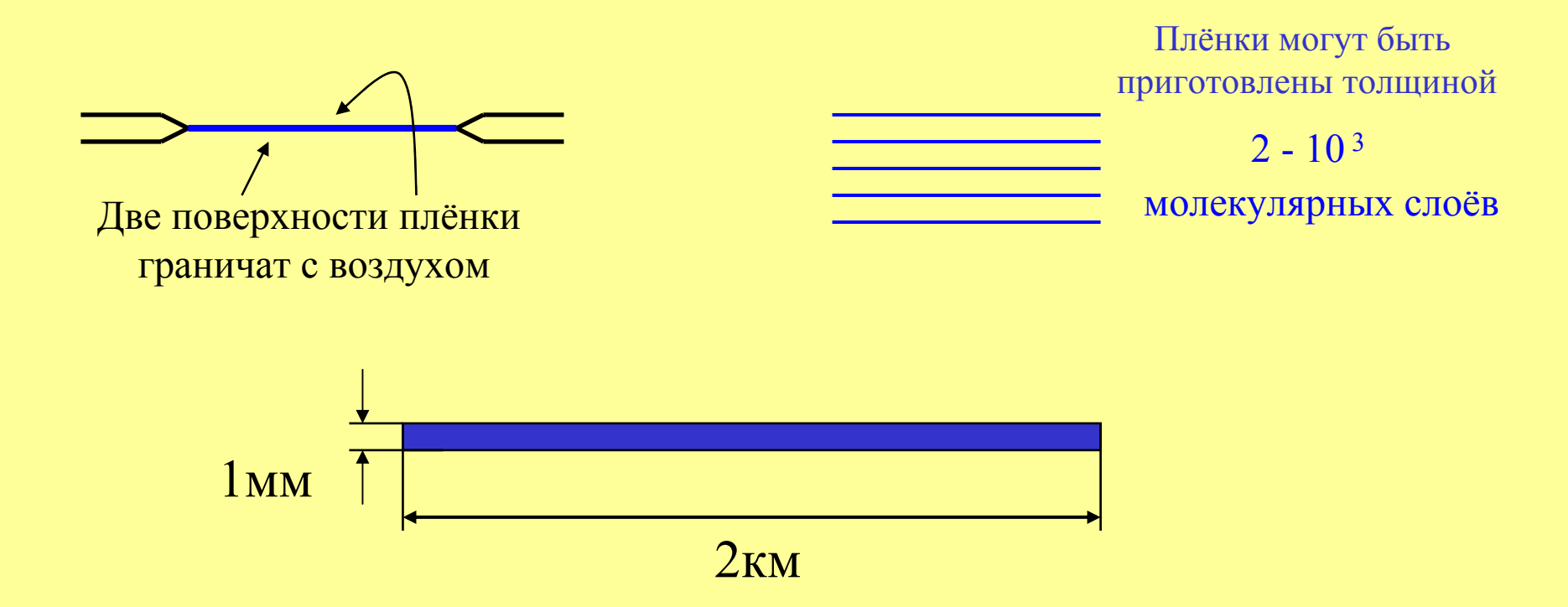


Эффекты, связанные с поверхностью



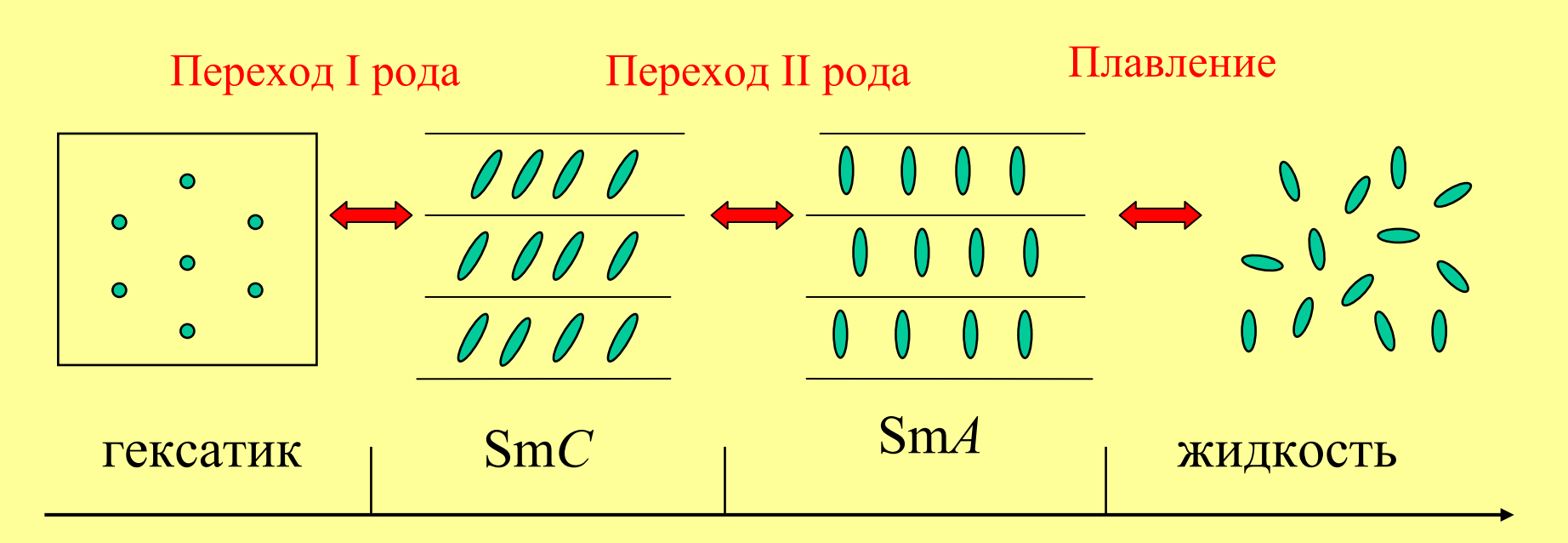
Рассмотрим влияние ограниченной геометрии на примере тонких плёнок

Тонкие свободно подвешенные смектические плёнки



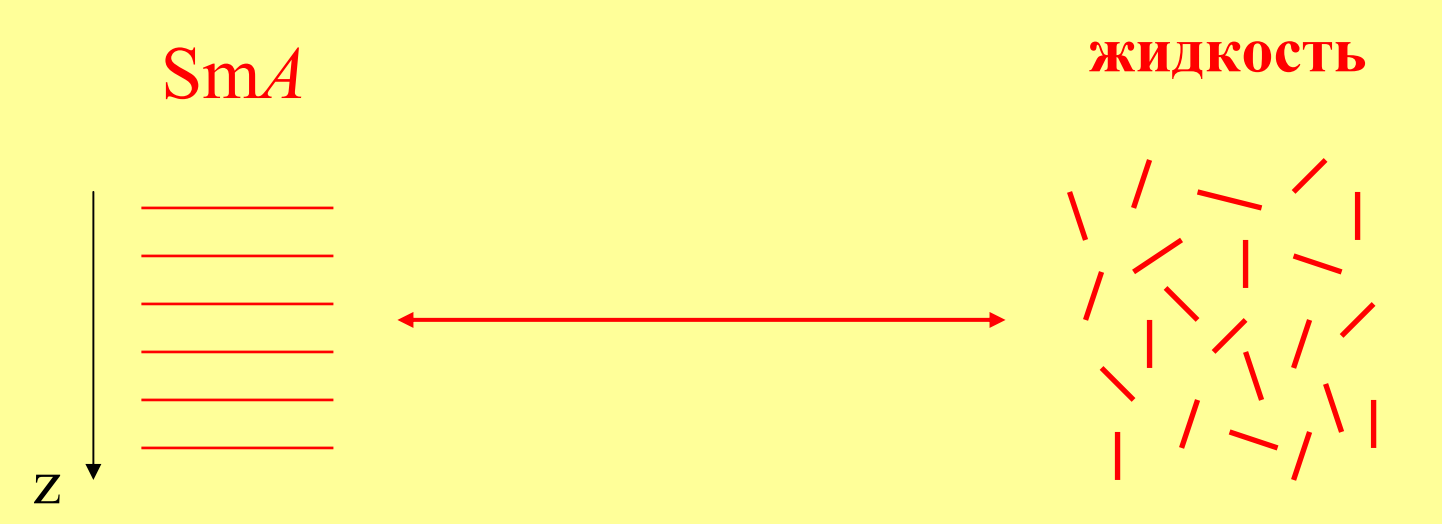
Примеры фазовых переходов в ограниченной геометрии

- 1. Плавление
- 2. Переход II рода
- 3. Переход І рода



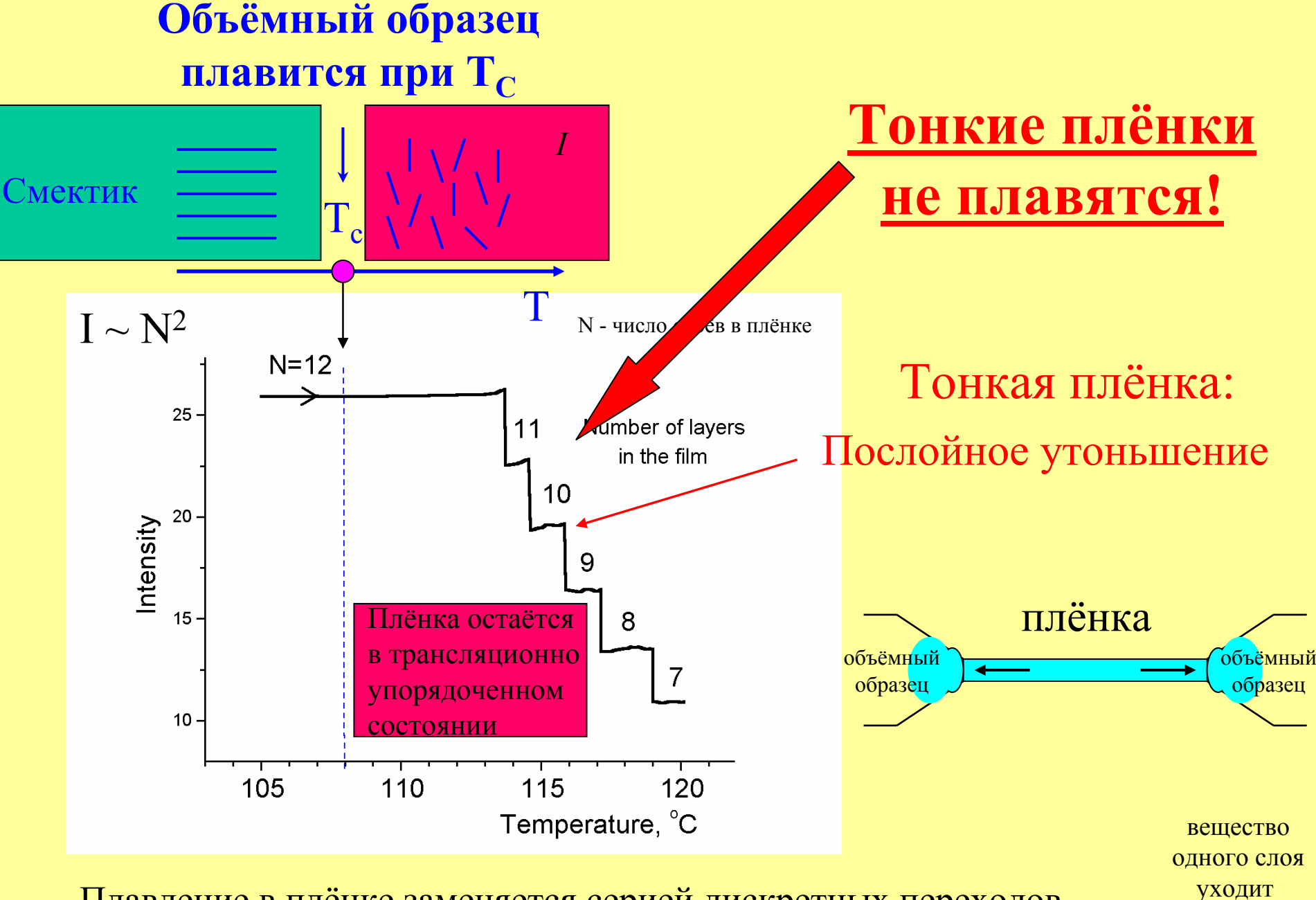
Фаза с Фаза без трансляционным трансляционного упорядочением упорядочения (смектики) (жидкость)

Плавление



$$\rho(z) = \rho_o[1 + |\psi| \cos(q_s z - \phi)]$$

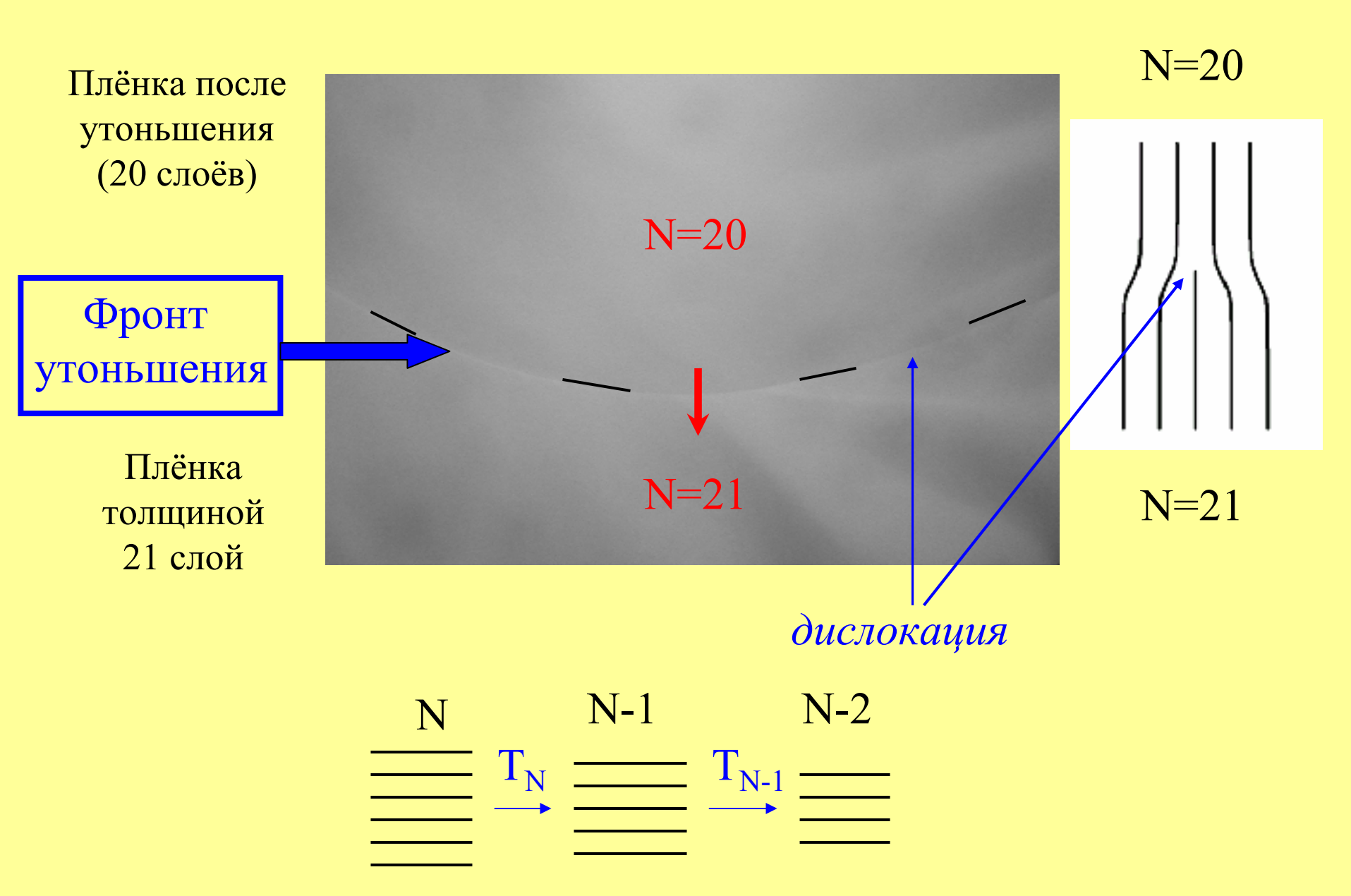
$$|\psi| - параметр порядка описывает величину смектического упорядочения$$

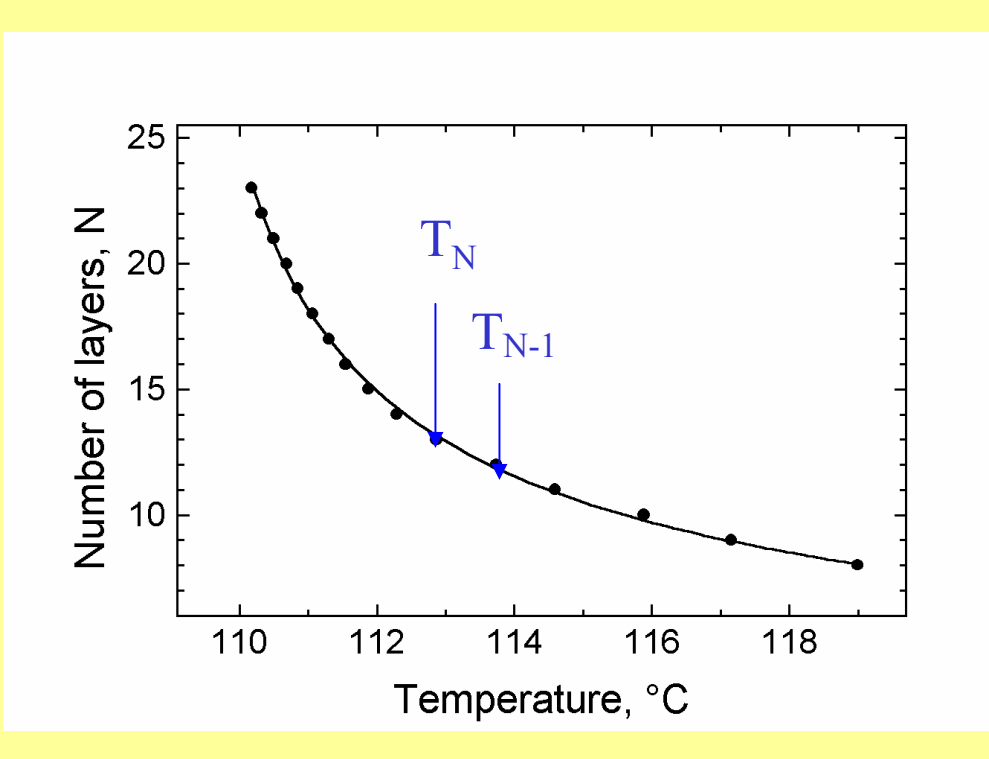


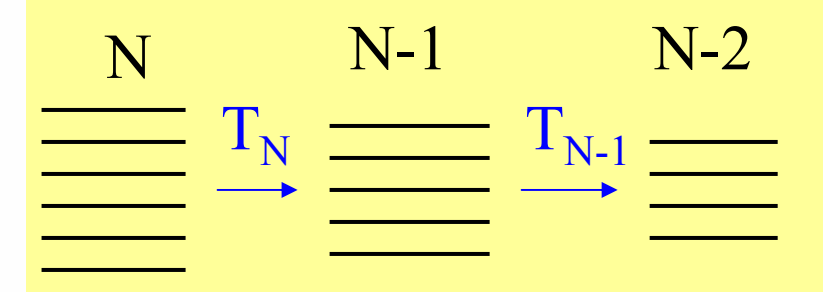
Плавление в плёнке заменяется серией дискретных переходов, при которых толщина плёнки уменьшается на один слой

в мениск

Процесс утоньшения плёнки можно наблюдать

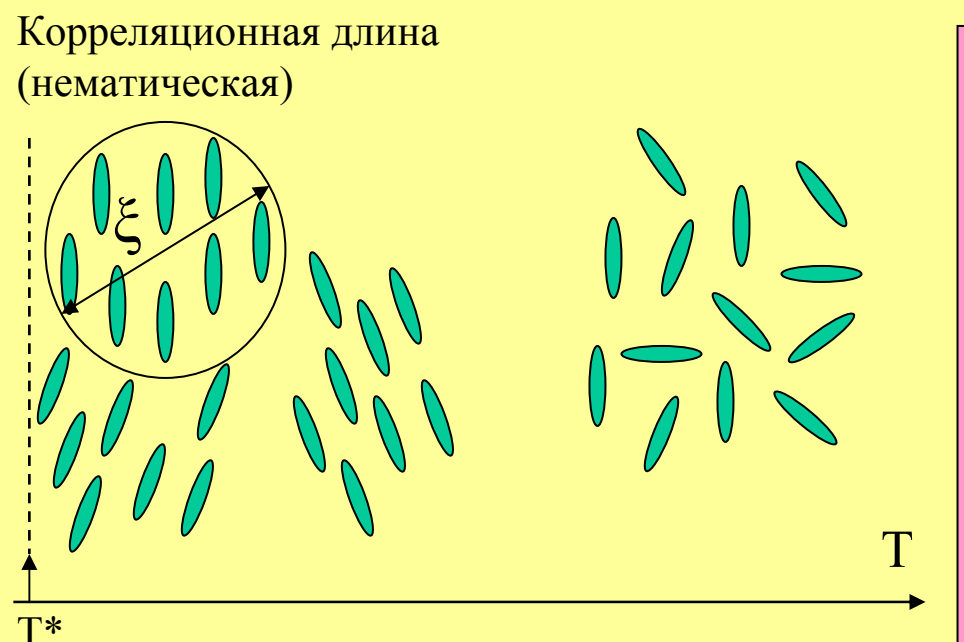


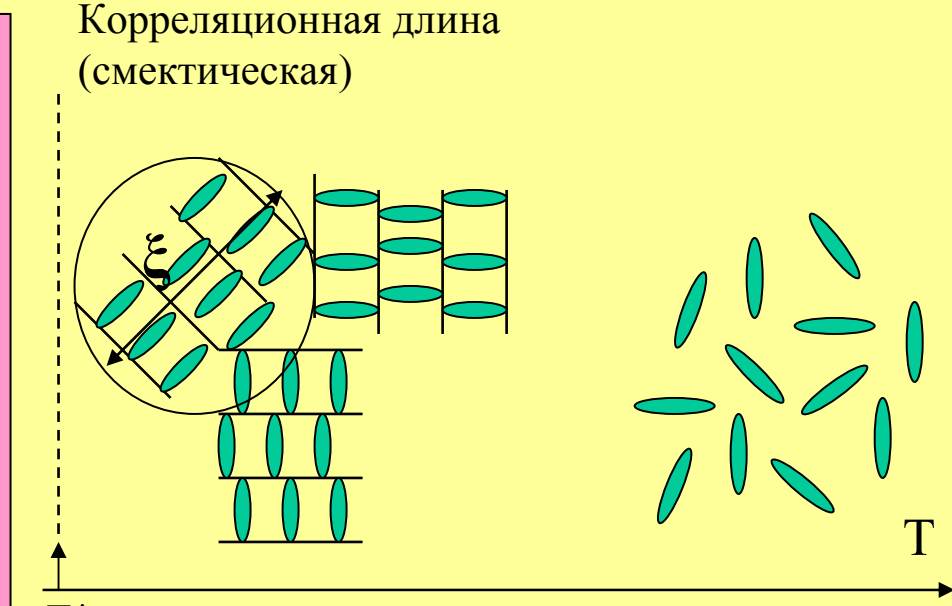




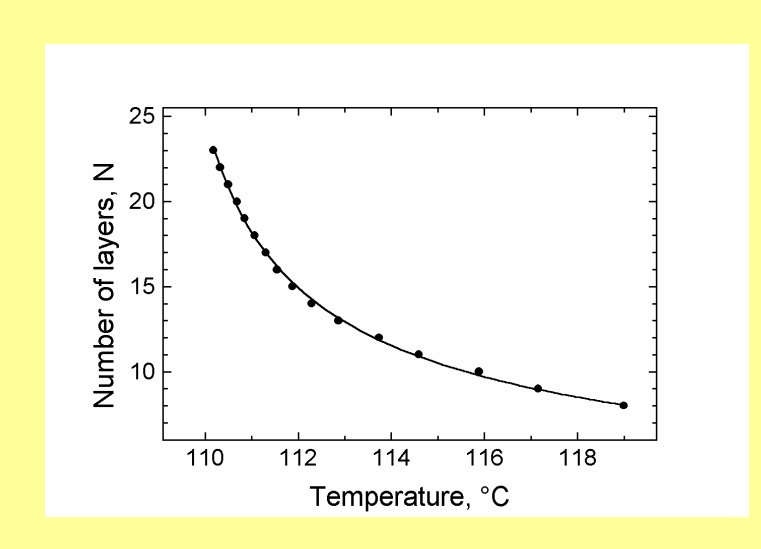
$$\xi = \xi^0 [T_{\rm C}/(T-T_{\rm C})]^{\rm v}$$

объёмная корреляционная длина смектического упорядочения

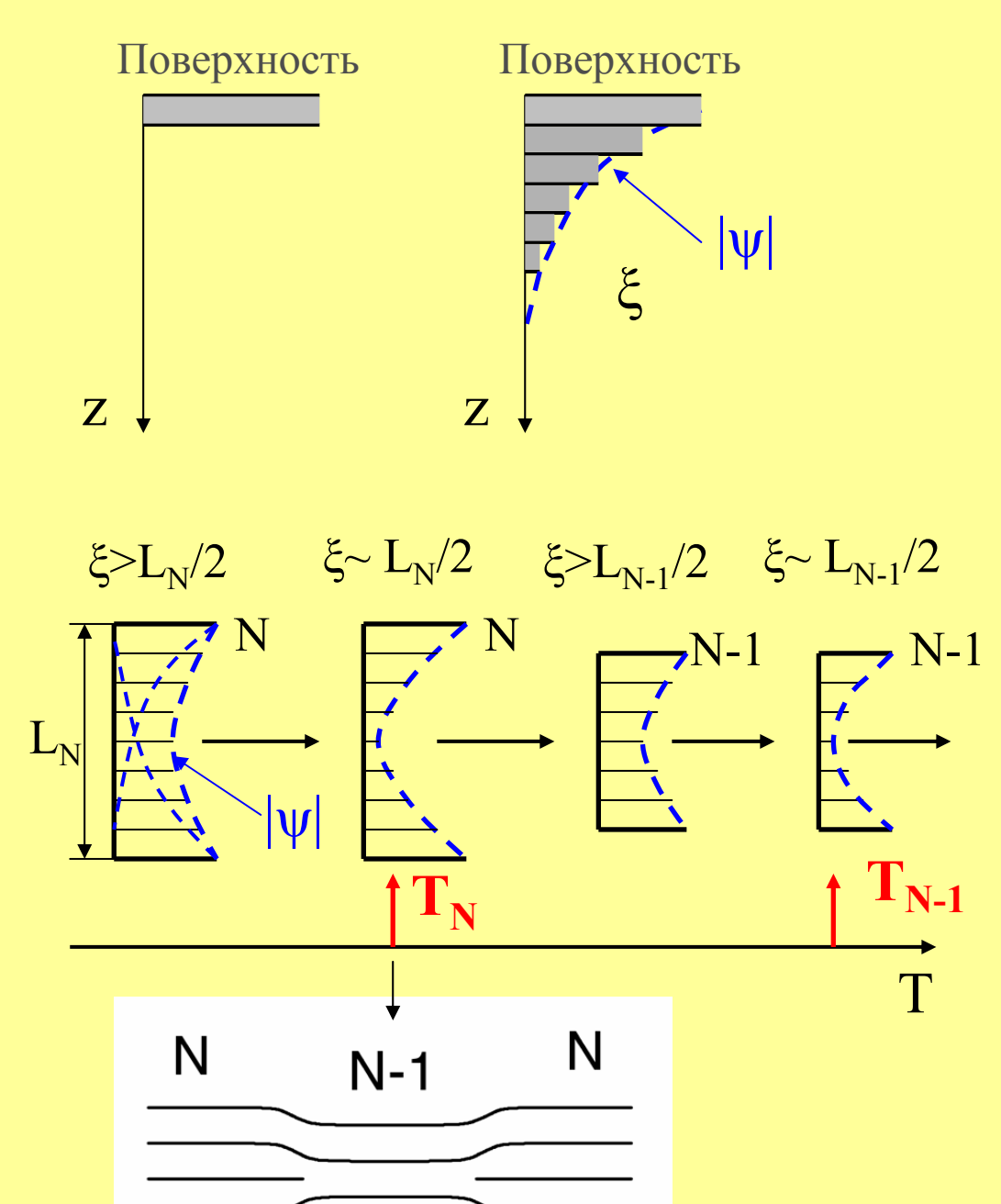




Объёмный образец неупорядочен



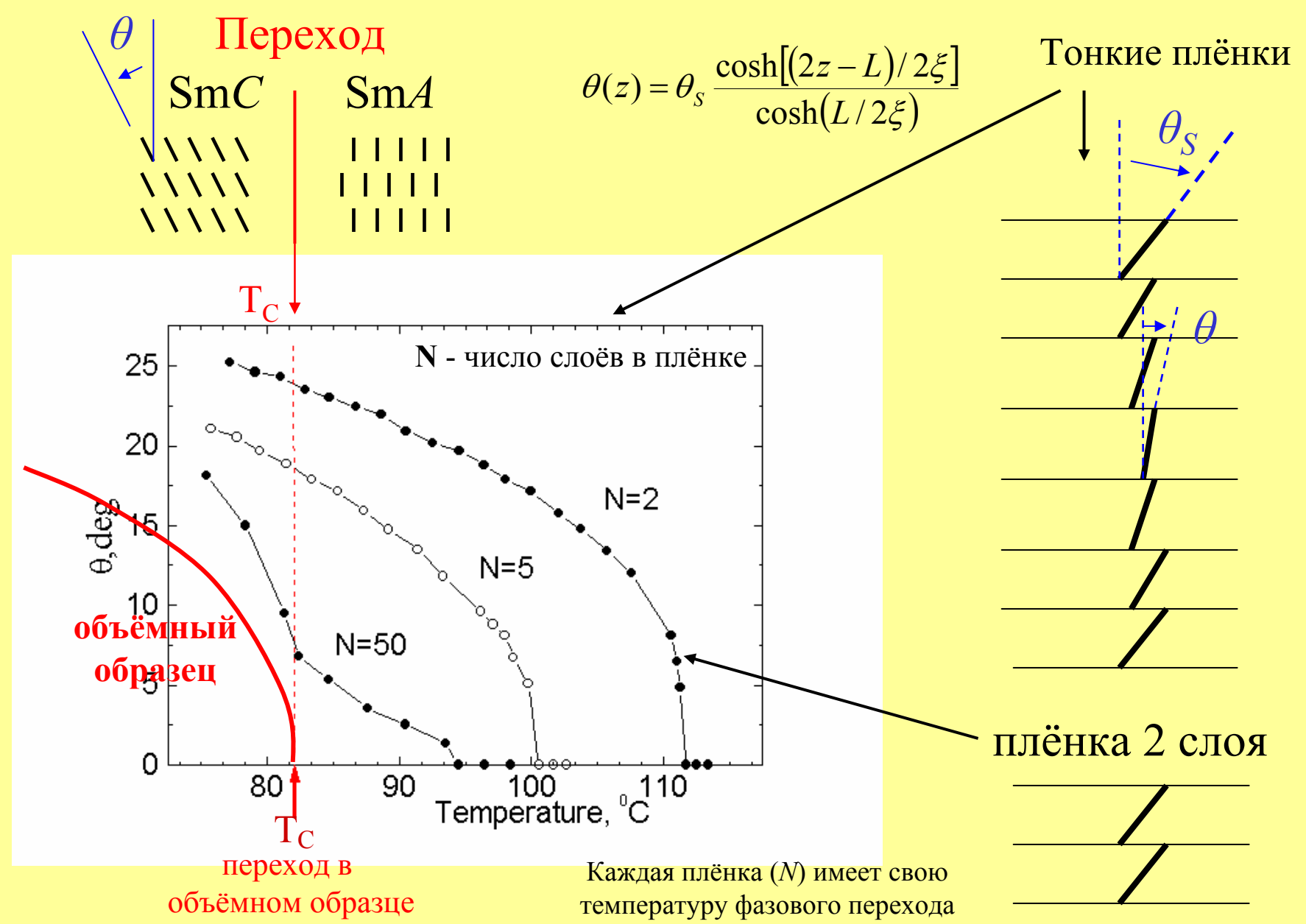
температурная зависимость корреляционной длины!



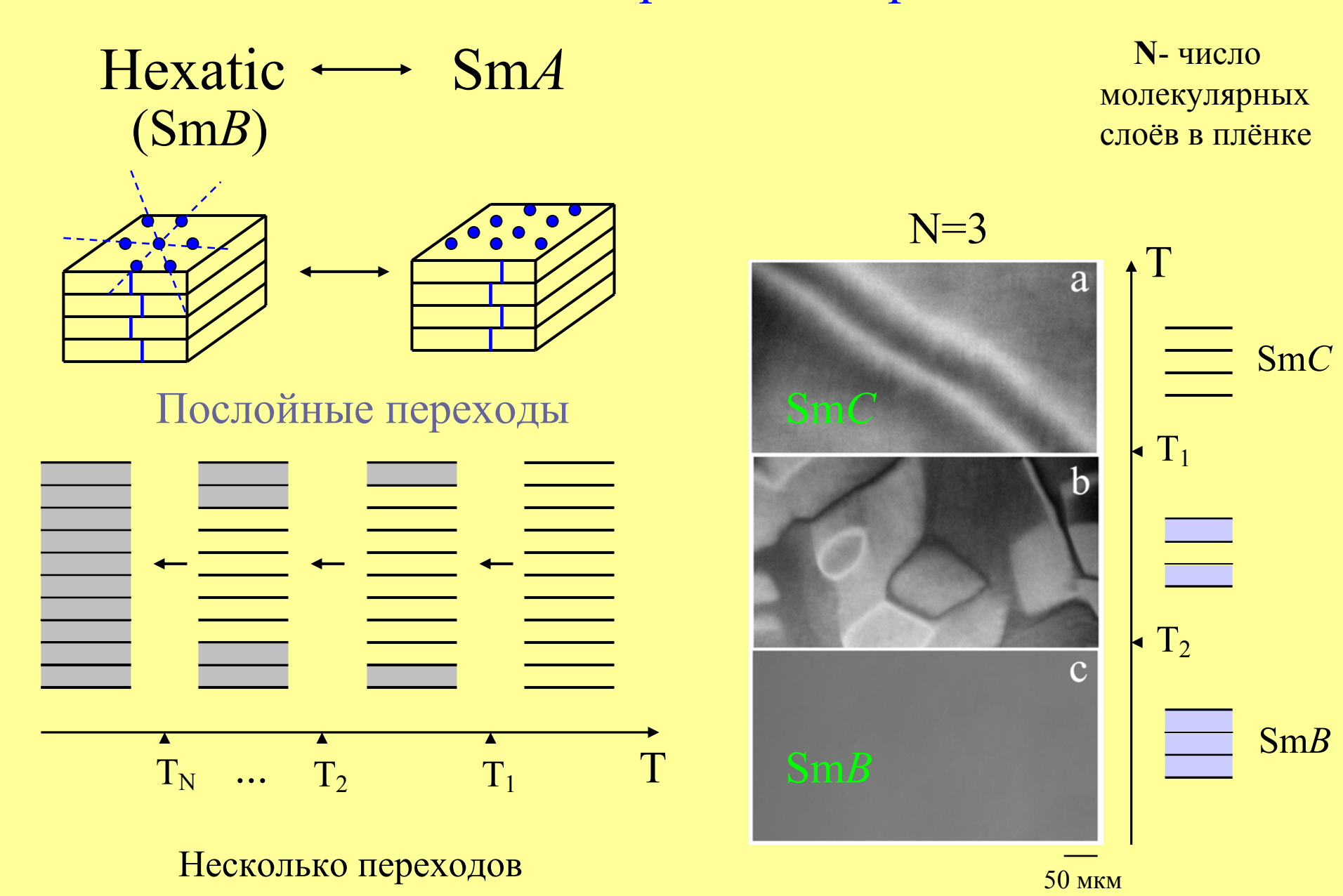
T.O.

Фазовый переход II рода SmA - SmC

Объёмный образец:

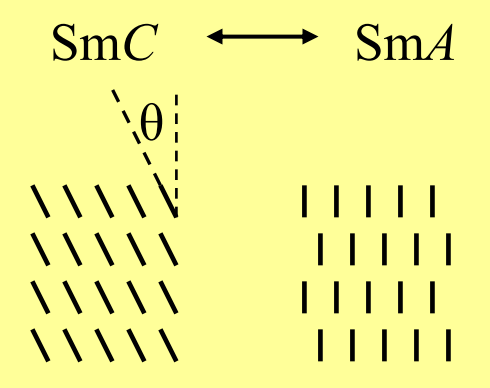


Фазовые переходы 1го рода

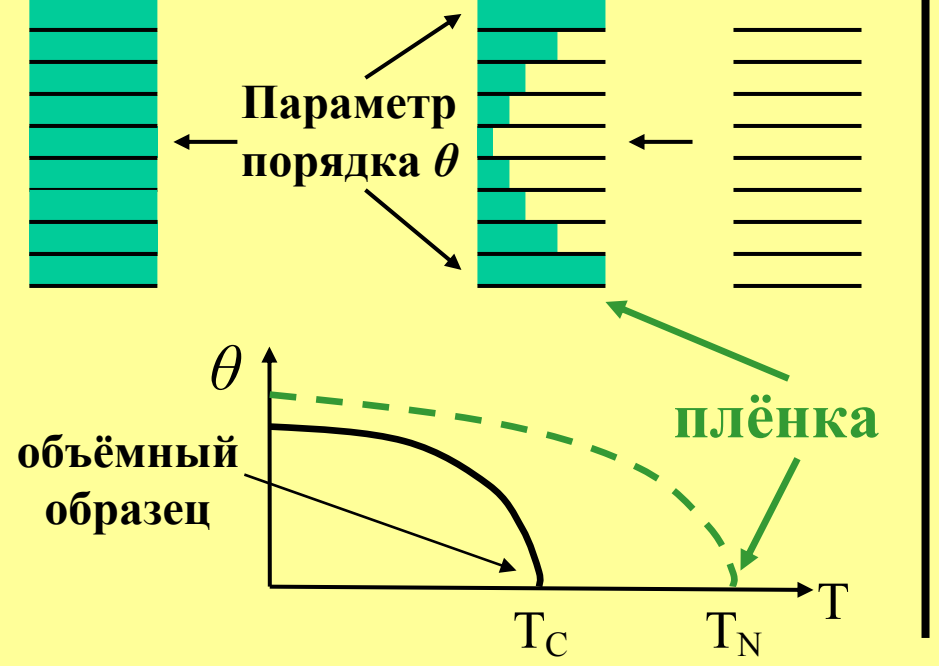


Влияние поверхности на переходы между жидкокристаллическими фазами

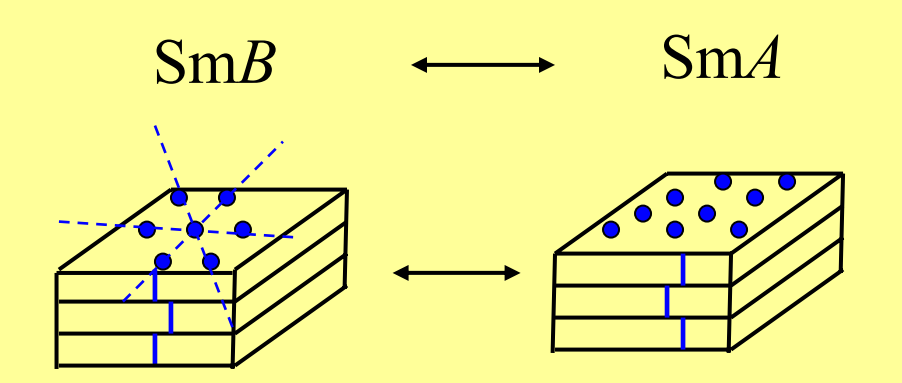
Переход 2го рода



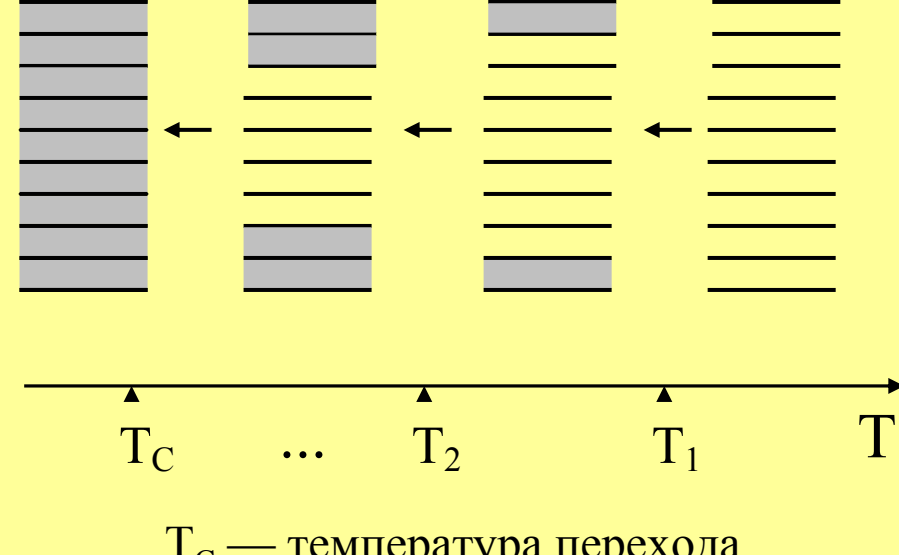
Переход во всей плёнке



Переход 1го рода



Переходы слой за слоем

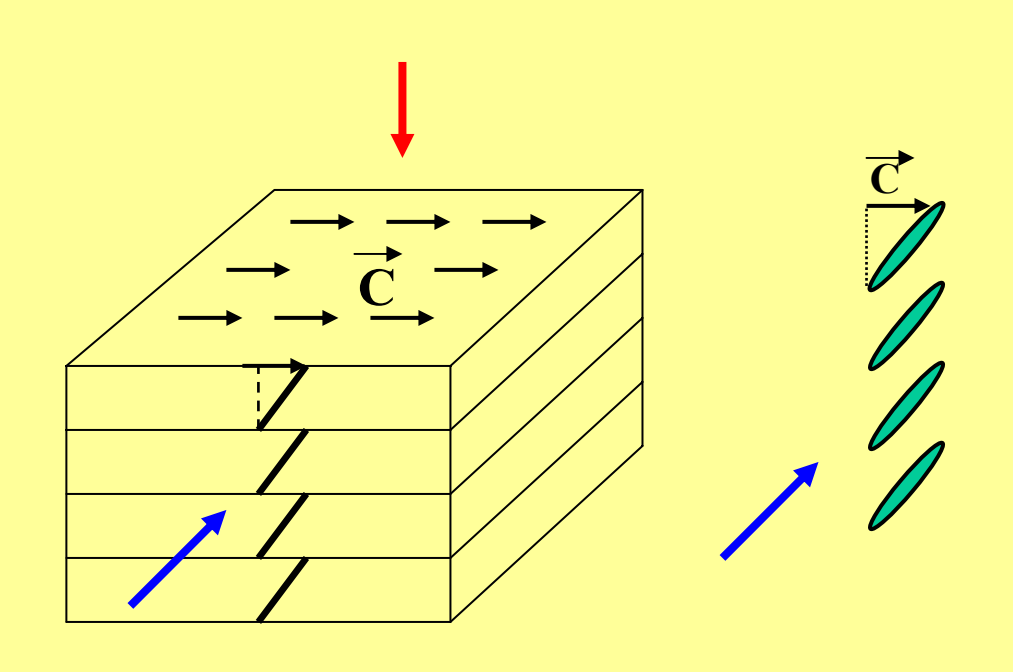


T_C — температура перехода в объёмном образце

Частицы в жидкокристаллических плёнках, их взаимодействие и самоорганизация

Частицы, не обладающие электрическим зарядом или магнитным моментом, в жидкокристаллической среде могут взаимодействовать на больших расстояниях

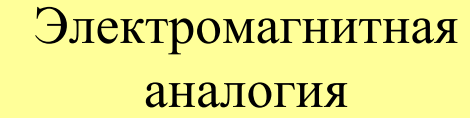
- 1. Поле молекулярного упорядочения в смектических плёнках
- 2. Топологические дефекты
- 3. Частицы

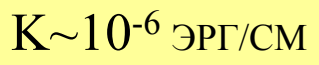


$$F = \frac{1}{2} K_S (\vec{\nabla} \cdot \vec{c})^2 + \frac{1}{2} K_B (\vec{\nabla} \times \vec{c})^2$$

$$\int_{S} F dr \propto \int_{S} (\nabla \varphi)^{2} d^{2} x$$

$$\Delta \varphi = 0$$



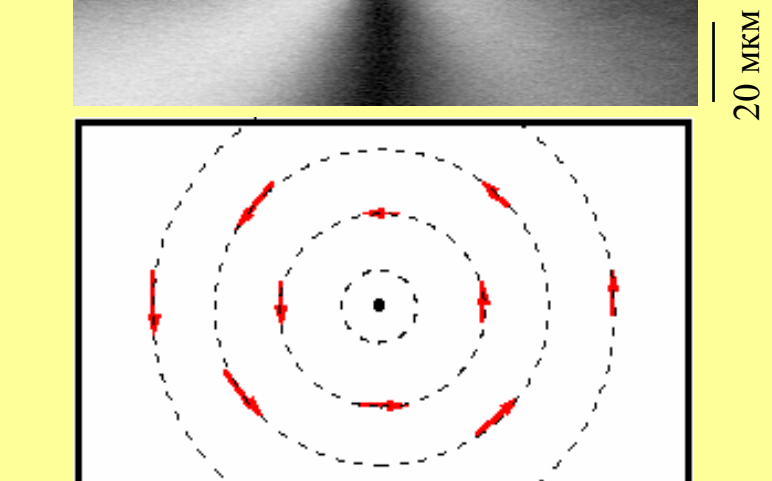


Топологический дефект

Вид дефекта в поляризованном

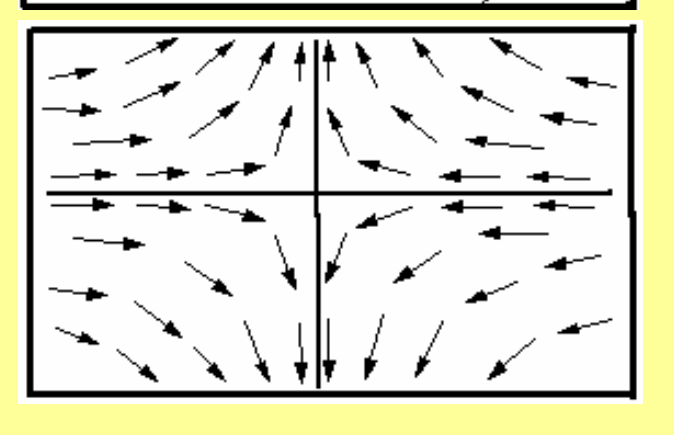
свете

$$S=+1$$

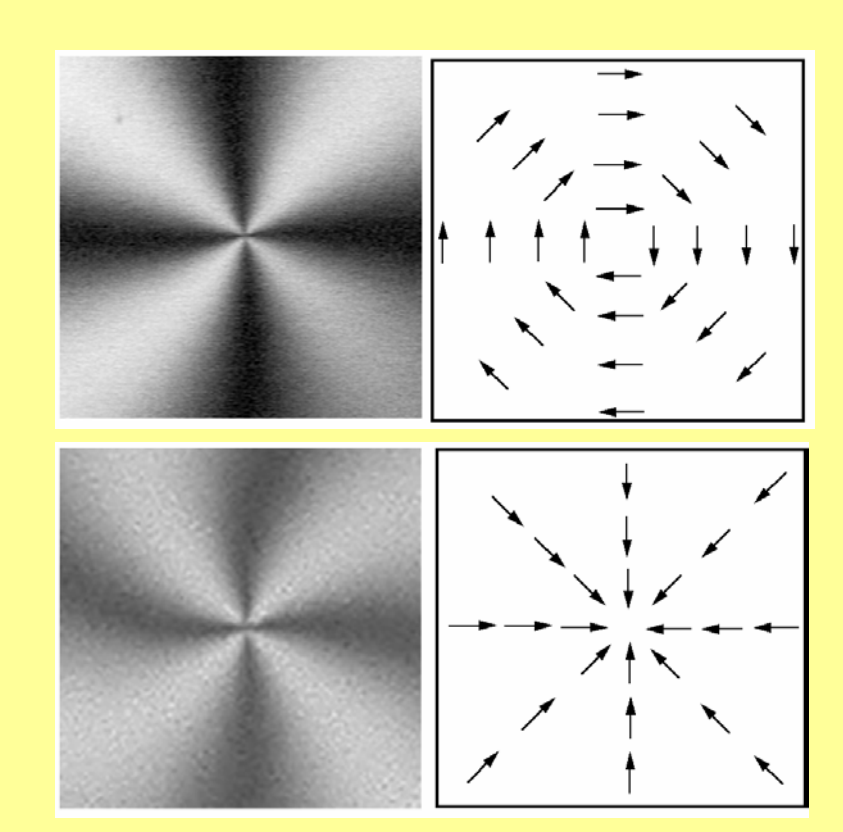


S=-1

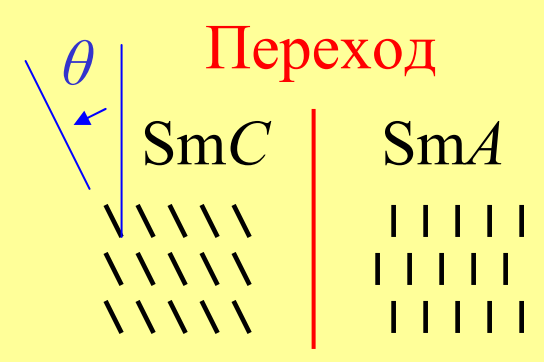
S=+1

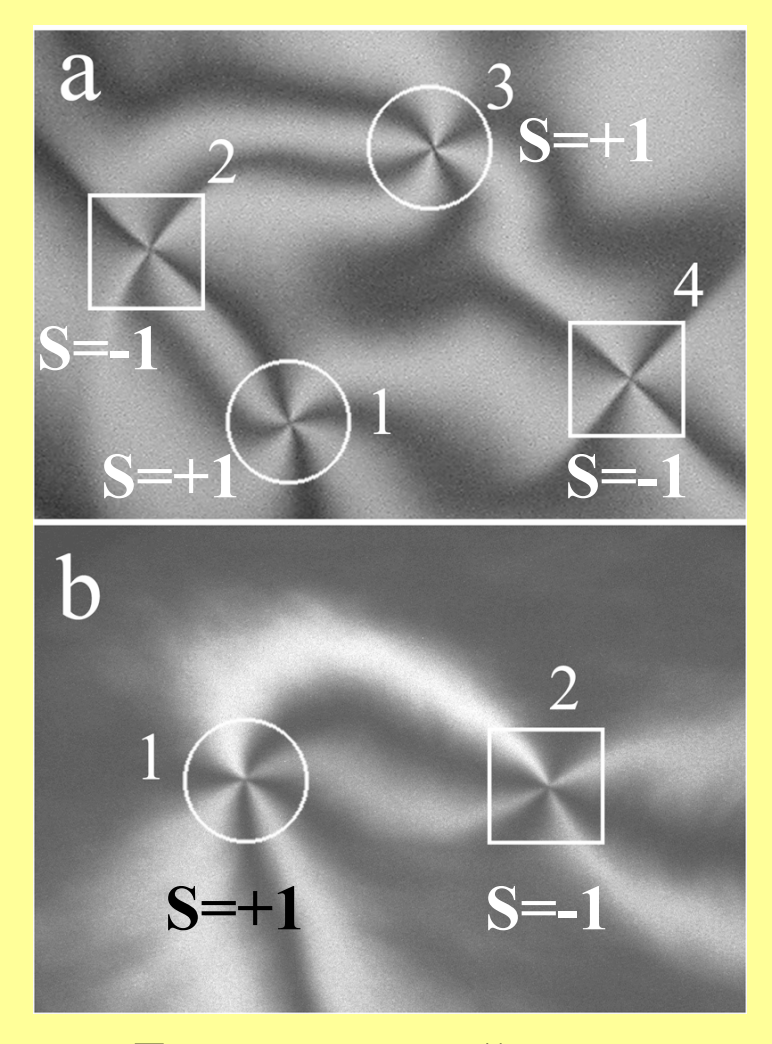


S=+1



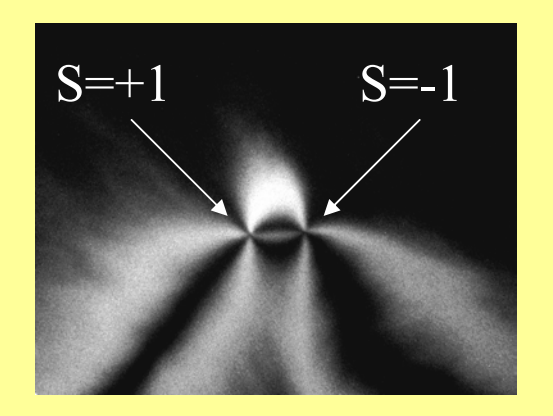
Топологически эквивалентные дефекты





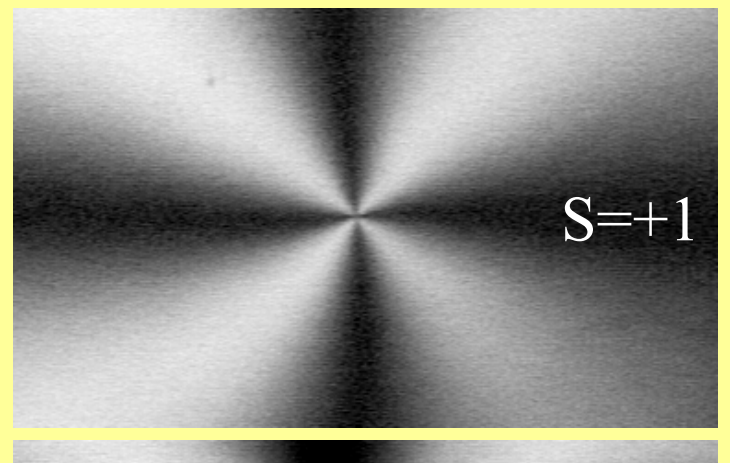
Топологический диполь

Топологический диполь

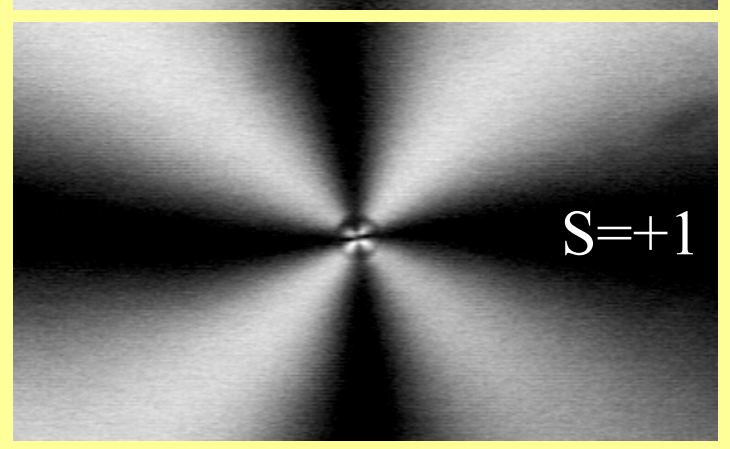


Топологические дефекты разного знака притягиваются (как электрические заряды) и аннигилируют

Различие двумерного и трехмерного случая



Топологический дефект с топологическим зарядом S=+1



Частица эквивалентна топологическому дефекту с топологическим зарядом S=+1

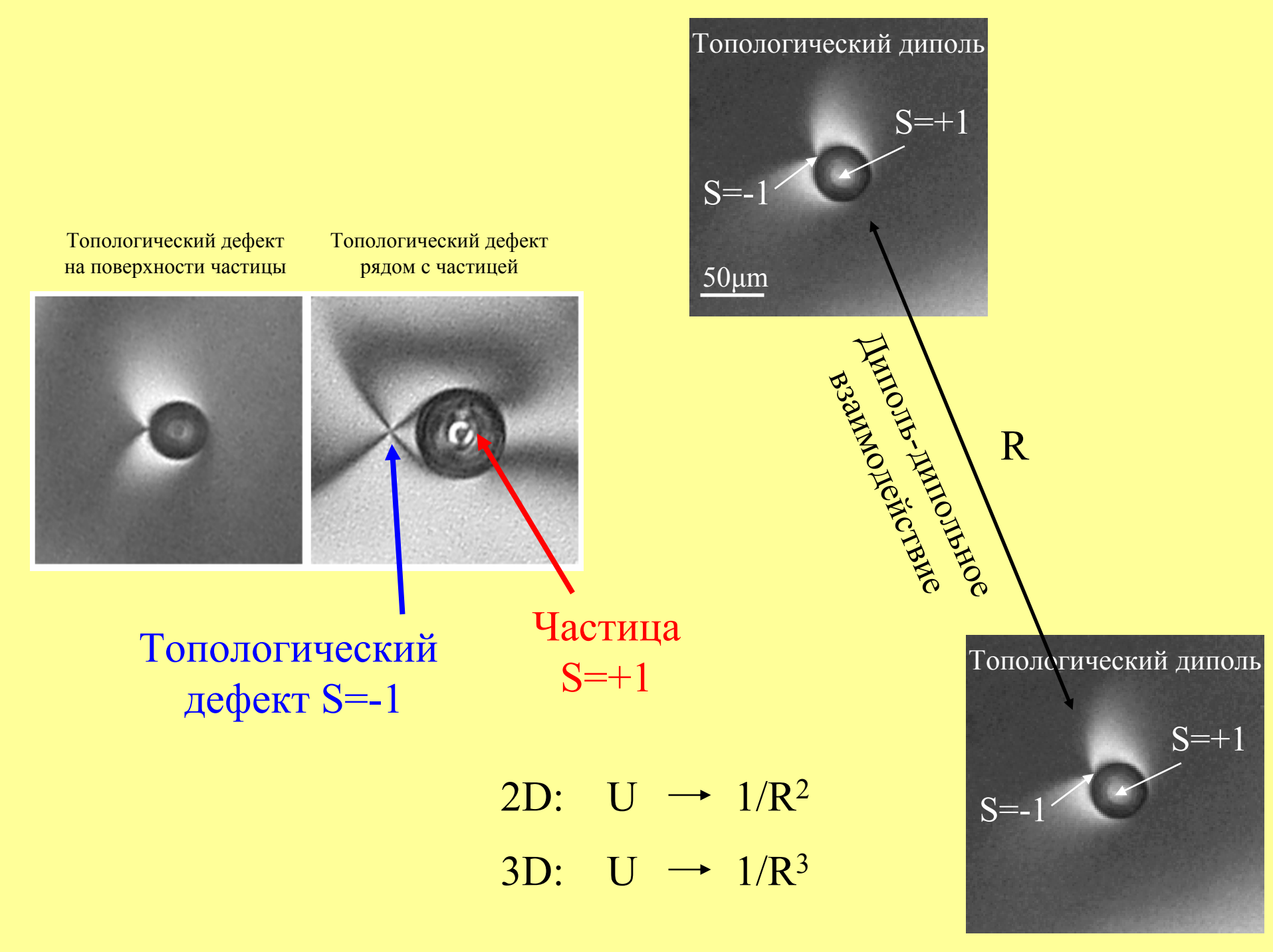
частицы с радиальной

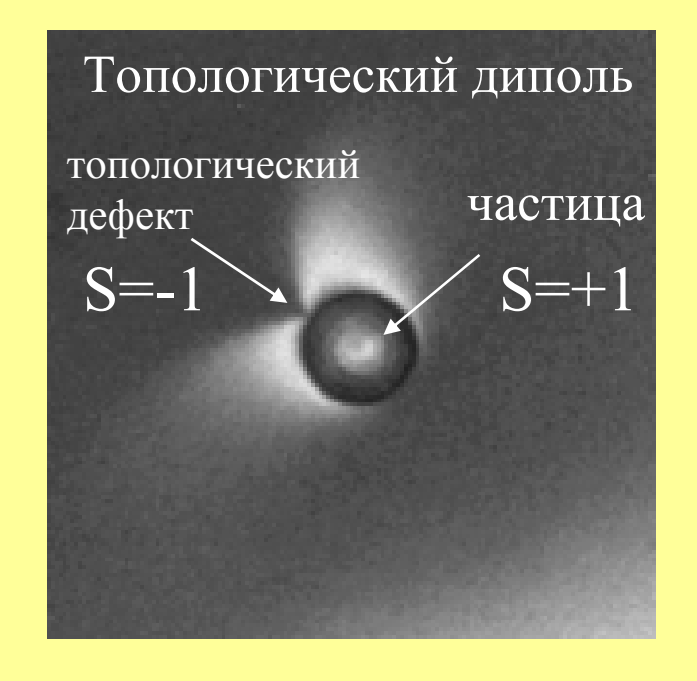


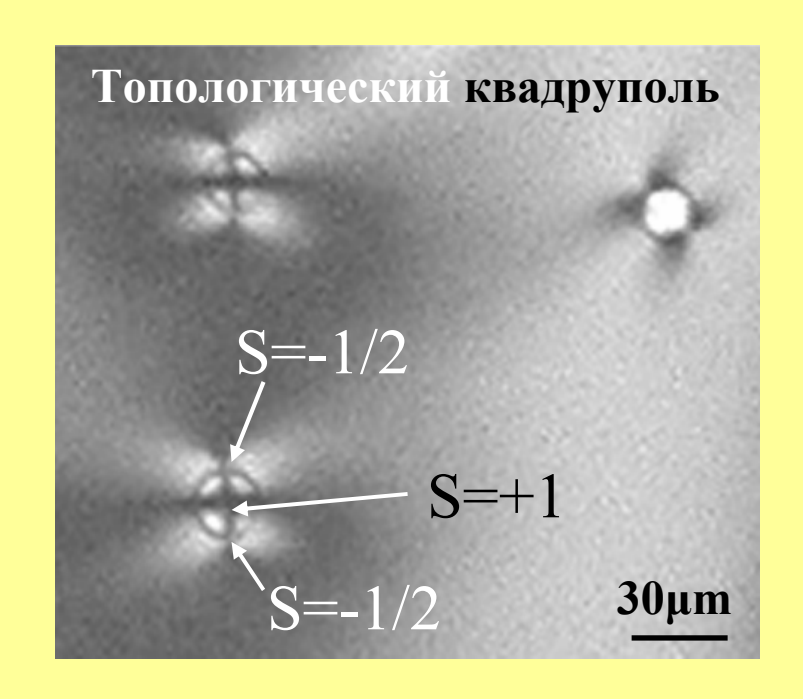
или тангенциальной

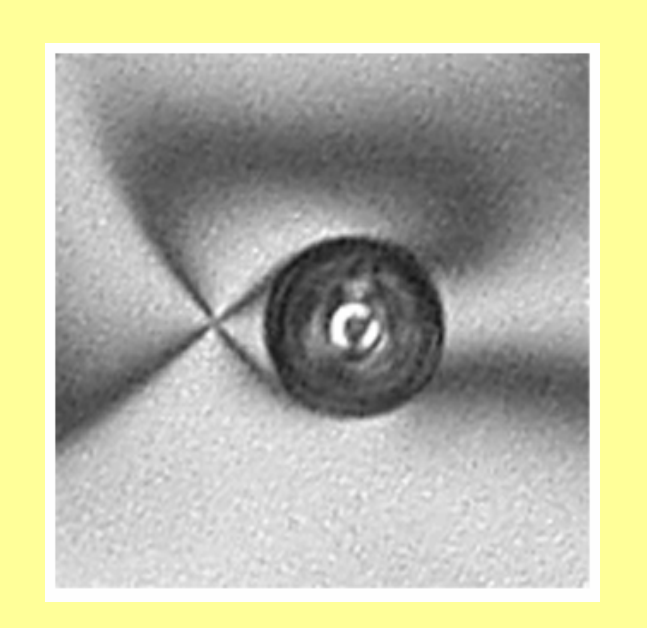


ориентацией молекул на поверхности



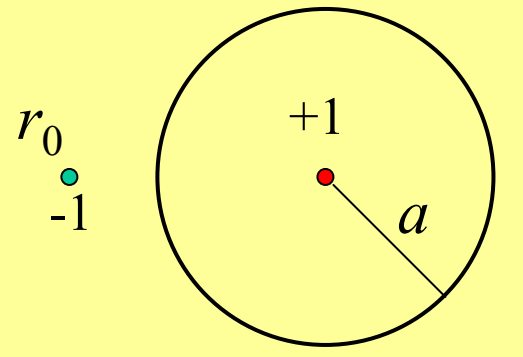






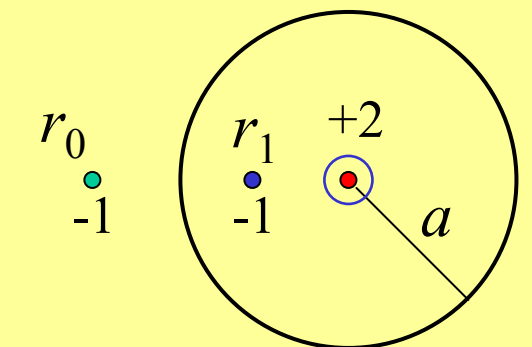
Реальные (физические) топологические дефекты

- S=+1
- S=-1



Виртуальные топологические дефекты

- S=+1
- S=-1

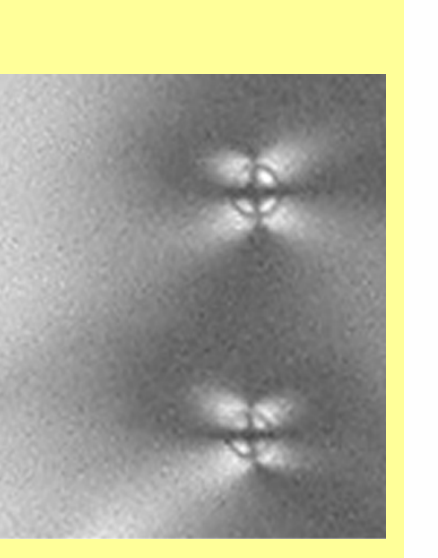


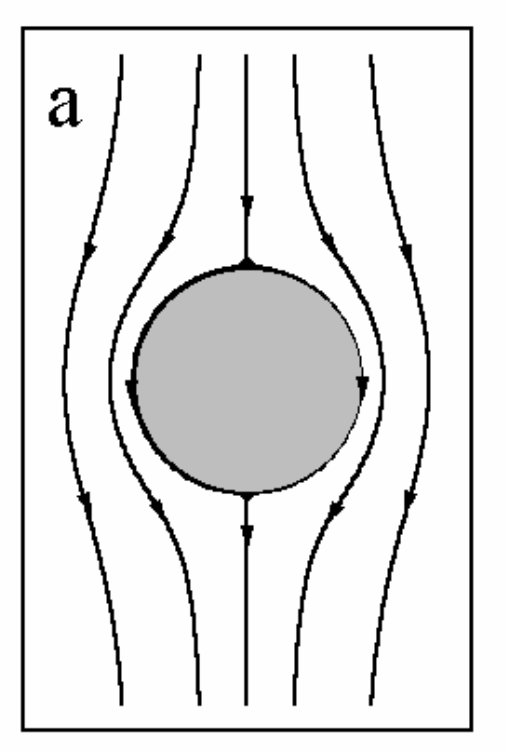
$$r_1 = \frac{a^2}{r_0}$$

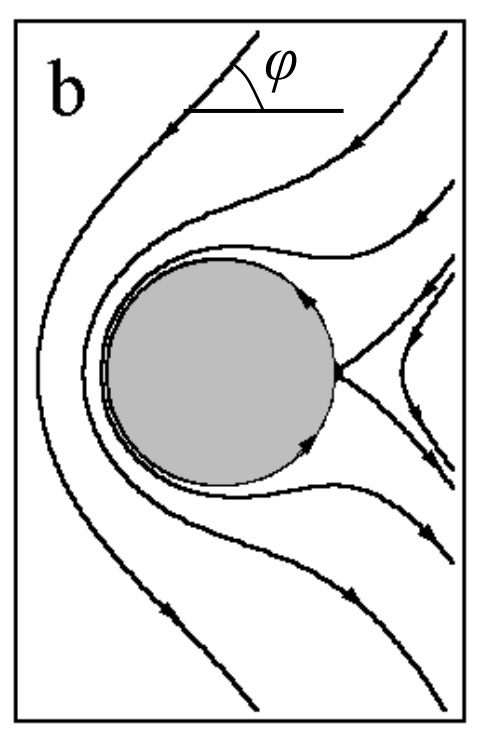
Силовые линии

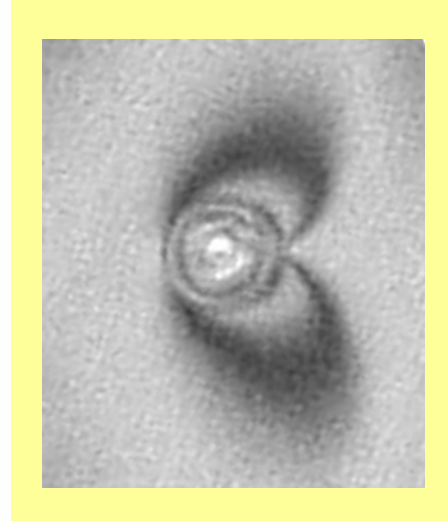
квадруполь

диполь









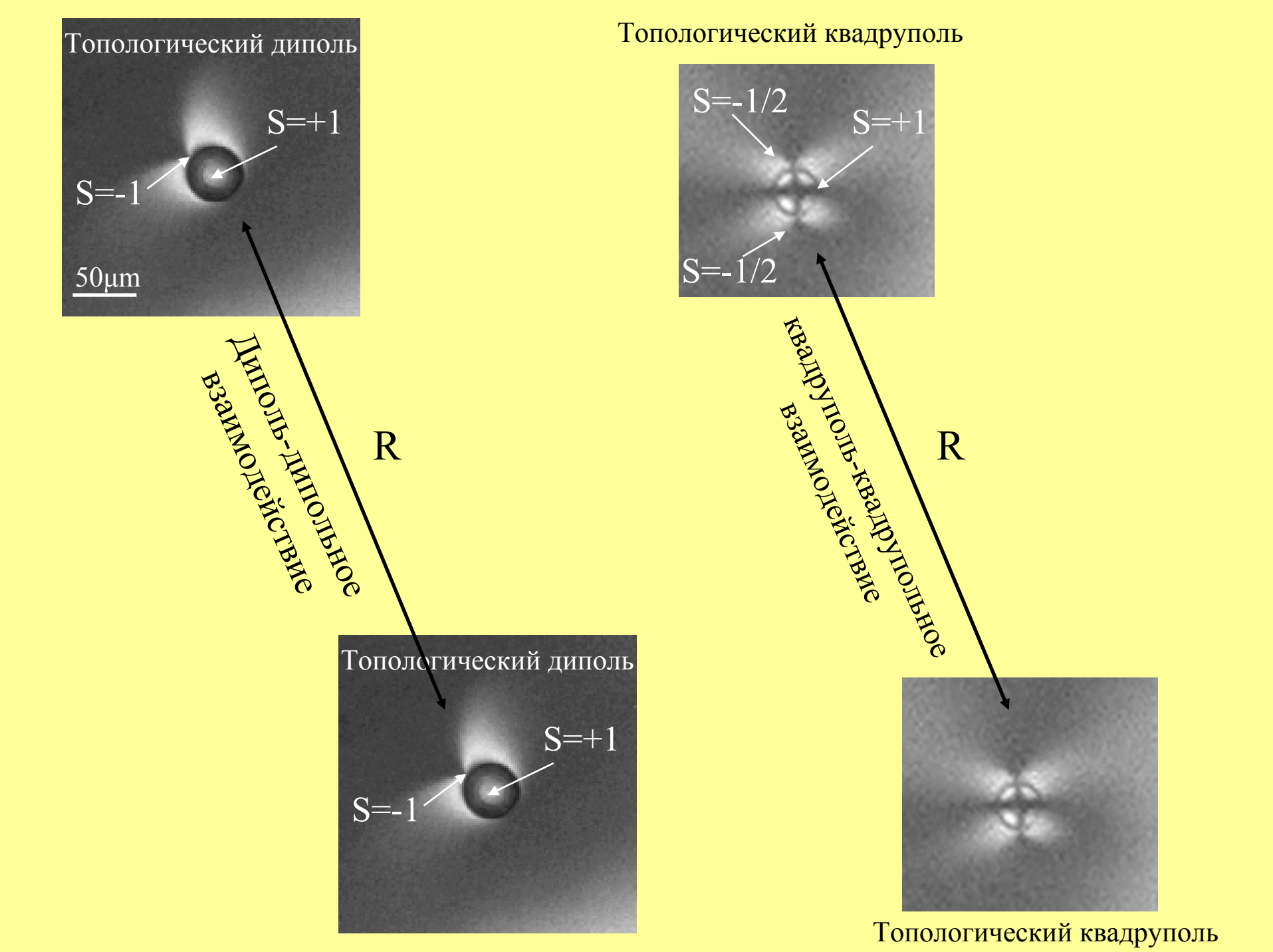
z = x + iy

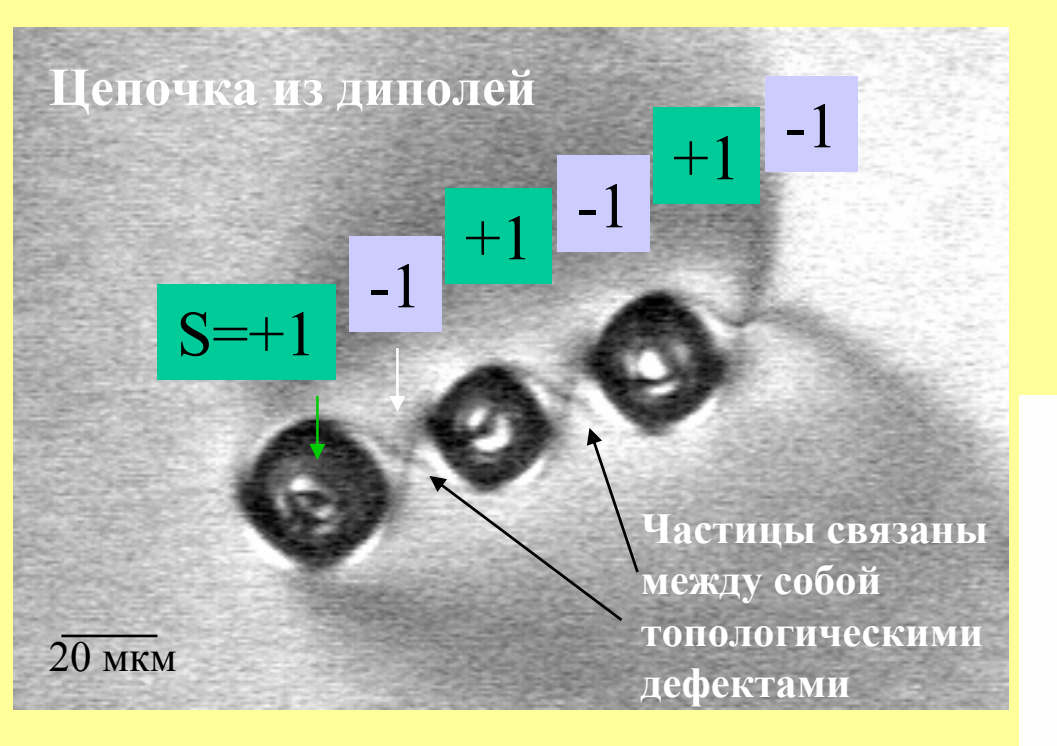
$$\varphi_i = -q_i \operatorname{Im} \log(z - z_i)$$

$$\varphi = \frac{3\pi}{2} - \sum_{j} q_{j} \operatorname{Im} \log(z - z_{j})$$

Силовые линии рассчитаны путём численного интегрирования уравнения:

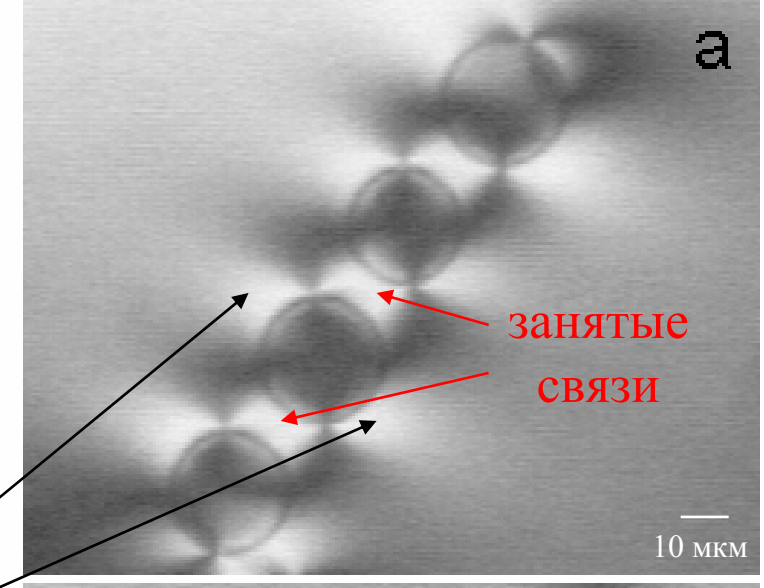
$$\frac{dy}{dx} = \tan \varphi$$





Связи между частицами визуализированы

Цепочки из квадруполей

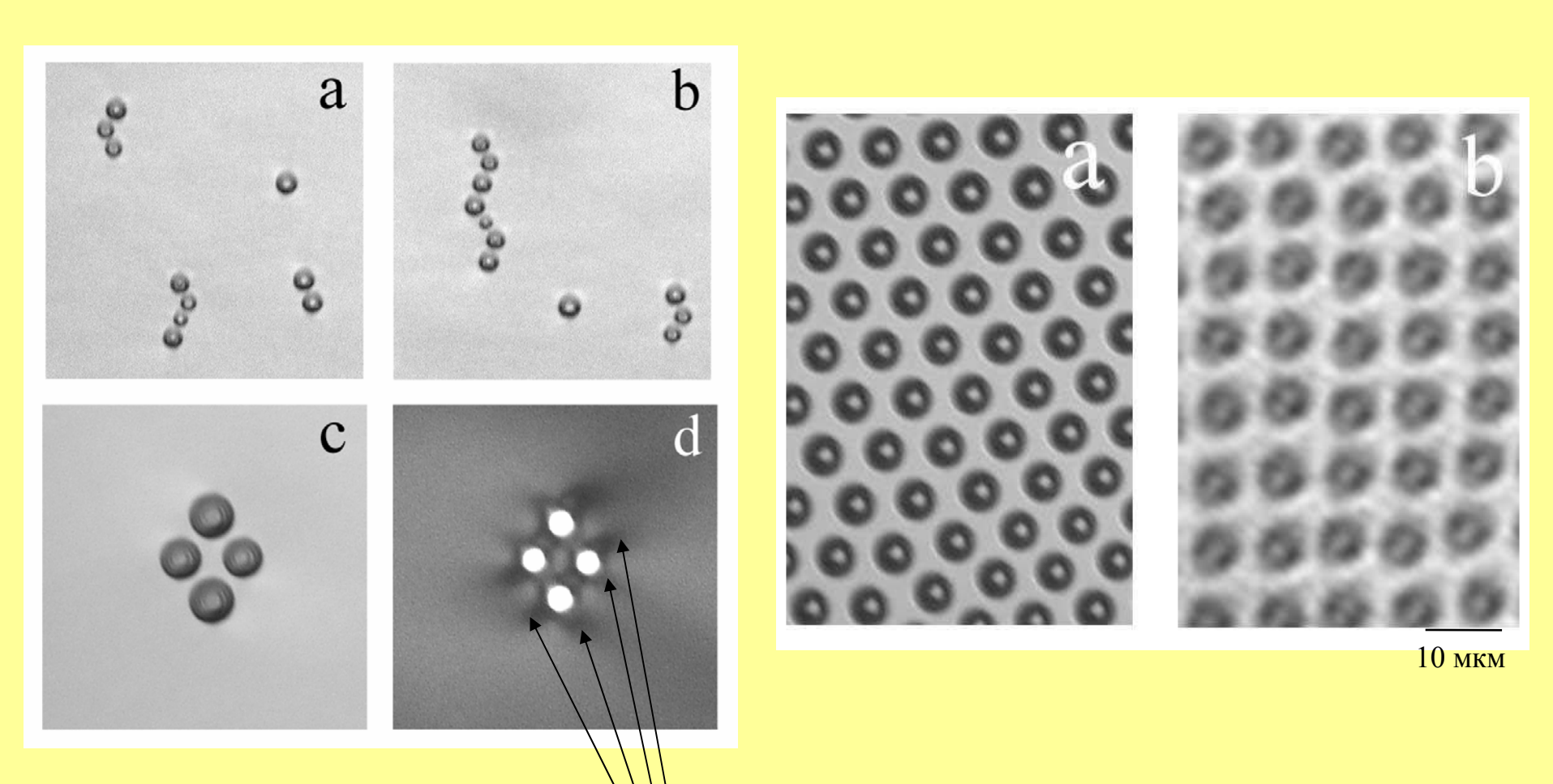


b

При такой геометрии съёмок связи между частицами выглядят чёрными областями

Свободные связи

Взаимодействие на малых расстояниях



Углы в структурах и ориентации структур фиксированы

Свободные связи, структуры открытые

- 1) Что такое жидкие кристаллы (ЖК)
- 2) Типы жидких кристаллов
- 3) Хиральность. Хиральные фазы ЖК
- 4) Кристаллические жидкости, фрустрация, фотонные кристаллы
- 5) Внешнее поле. Эффект Фредерикса
- 6) Как сделать дисплей на (нематическом) ЖК. Другие возможности.
- 7) Структуры и переходы в ограниченной геометрии. Влияние поверхности.
- 8) Послойное утоньшение. Послойные переходы
- 9) Взаимодействие и самоорганизация частиц в ЖК